

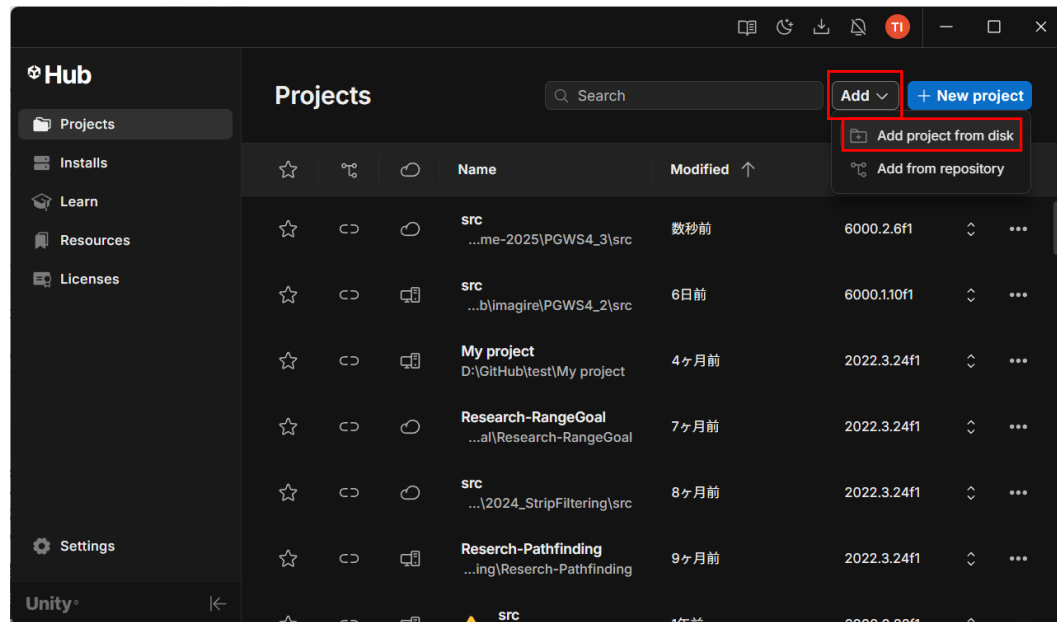
# 表面反射

2025年度 プログラムワークショップIV (3)

# 本日の進め方

- [https://github.com/tpu-game-2025/PGWS4\\_3](https://github.com/tpu-game-2025/PGWS4_3)

をfork & Cloneして、「src」フォルダを追加して作業してください



The screenshot shows a GitHub repository page for 'PGWS4\_3'. At the top, it says 'develop had recent pushes 26 minutes ago'. Below that, it shows the repository structure: 'main' (2 branches, 0 tags). There is a search bar and a 'Code' dropdown menu. The commit history shows one commit from 'imagine' (1st state) made 5 minutes ago, which includes changes to 'src', 'README.md', and 'result.png'. The 'README' file is expanded, showing its content.

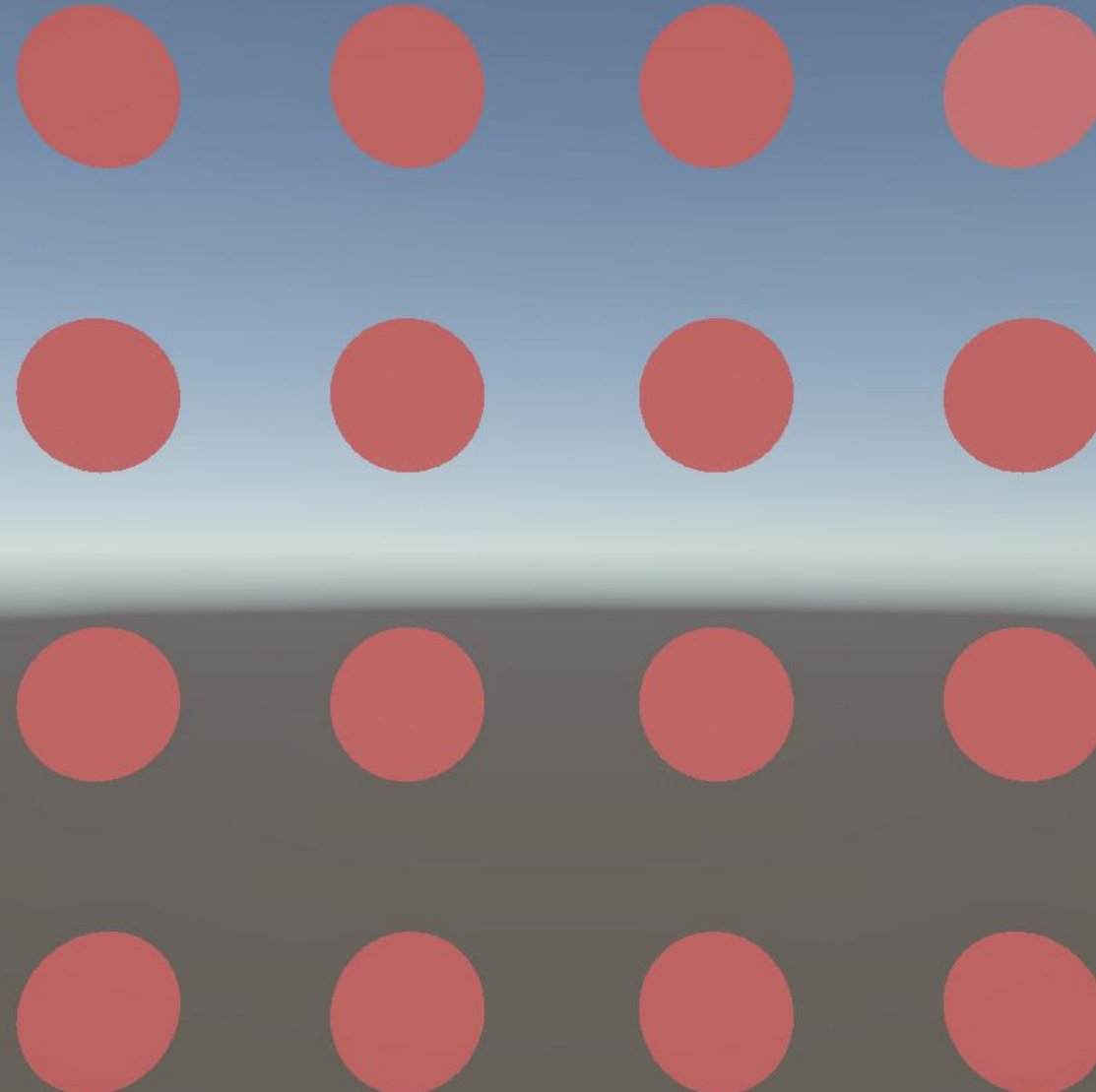


• 工夫した点：xxx

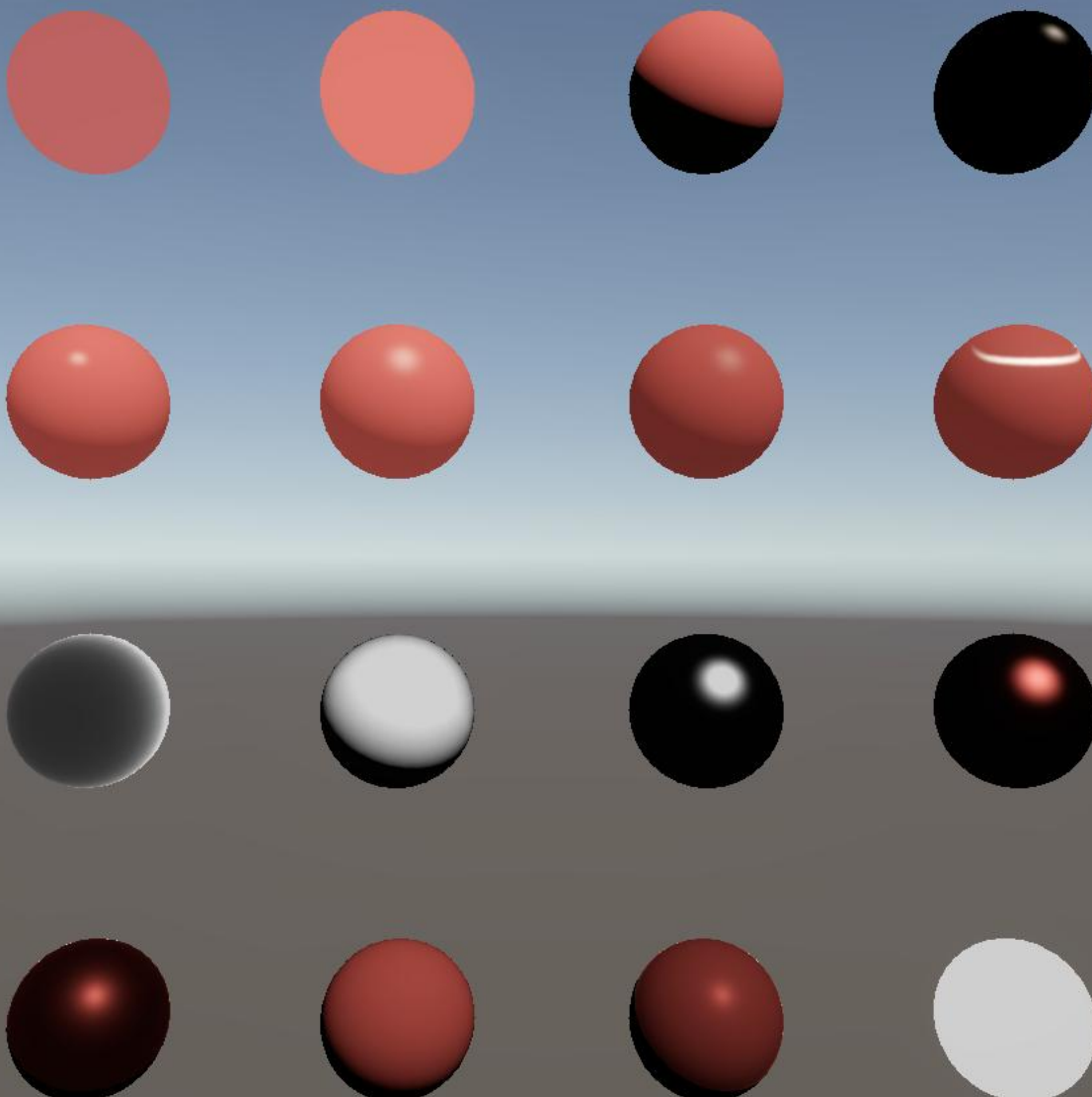
## 進め方

- 本リポジトリ(tpu-game-2025/PGWS4\_3)をforkしてください。
- fork先のリポジトリを更新してください
- Unityのプロジェクトをsrc内で進めて下さい。
- 結果を画面キャプチャして、画像としてリポジトリに追加して、上記のリンクから見れるようにしてください。
- 完成したら本リポジトリのmainブランチにpull requestを投げてください

初期状態



ゴール



# アジェンダ

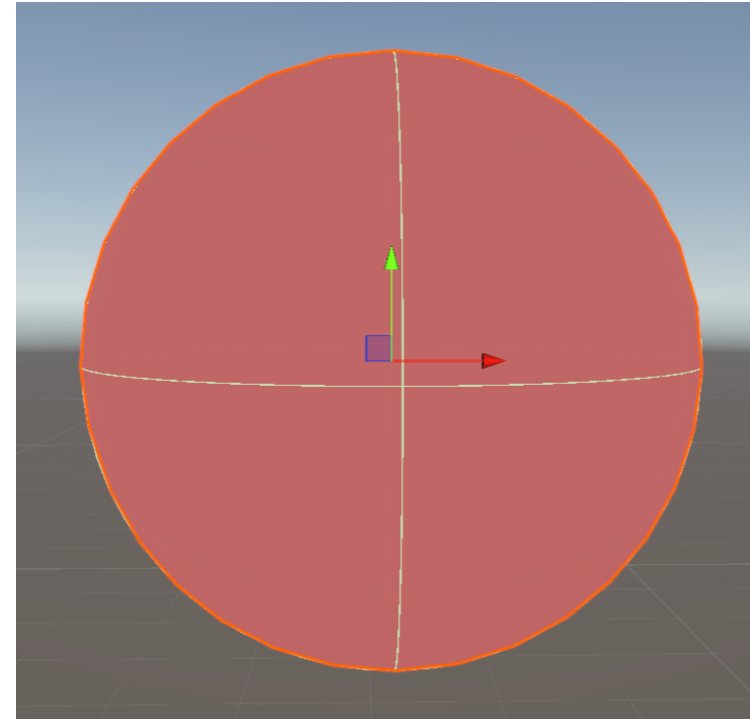
- おさらい
  - 発光
- Phongの反射モデル
  - 環境光
  - ランバート拡散反射モデル
  - 鏡面反射
  - Phongの反射モデル
- 古典反射モデル
  - ブリンフォン
  - メタリック
  - 異方性反射モデル
- 金属反射
  - フレネル
  - 幾何減衰項
  - Beckman分布関数
  - Cook-Torrance金属反射モデル
- 現代的な反射モデル
  - GGX分布
  - Frostbite拡散反射モデル
  - PBR
- 課題

# アジェンダ

- おさらい
  - 発光
- Phongの反射モデル
  - 環境光
  - ランバート拡散反射モデル
  - 鏡面反射
  - Phongの反射モデル
- 古典反射モデル
  - ブリンフォン
  - メタリック
  - 異方性反射モデル
- 金属反射
  - フレネル
  - 幾何減衰項
  - Beckman分布関数
  - Cook-Torrance金属反射モデル
- 現代的な反射モデル
  - GGX分布
  - Frostbite拡散反射モデル
  - PBR
- 課題

# 発光

- 照明計算の視点では、固定色を出力するのは、一定の光が追加されることから、発光(物体が光を出している)と考えられる



Sphere(1)\_Emission  
プログラムワークショップIV

# 固定色の出力: テクスチャの出力を削除

```
3     ↓ | Properties  
4     | {  
5     |     [MainColor] _BaseColor ("Base Color", Color) = (1, 1, 1, 1)  
6     |     [MainTexture] _BaseMap ("Base Map", 2D) = "white"  
7     }
```

Inspectorからテクスチャの設定を削除

```
34    ↓ | TEXTURE2D(_BaseMap);  
35    | SAMPLER(sampler_BaseMap);  
36    ↓ | CBUFFER_START(UnityPerMaterial)  
37    |     half4 _BaseColor;  
38    |     float4 _BaseMap_ST;  
39    | CBUFFER_END  
40
```

```
3     ↓ | Properties  
4     | {  
5     |     [MainColor] _BaseColor ("Base Color", Color) = (1, 1, 1, 1)  
6     }  
31    ↓ | CBUFFER_START(UnityPerMaterial)  
32    |     half4 _BaseColor;  
33    | CBUFFER_END
```

テクスチャに関連する変数を削除

```
50    ↓ | half4 frag(Varyings IN) : SV_Target  
51    | {  
52    |     half4 color = SAMPLE_TEXTURE2D(_BaseMap, sampler_BaseMap, IN.uv) * _BaseColor;  
53    |     return color;  
54 }
```

テクスチャの読み込みを削除

```
42    ↓ | half4 frag(Varyings IN) : SV_Target  
43    | {  
44    |     half4 color = _BaseColor;  
45    |     return color;  
46 }
```

プログラムワークショップIV

# テクスチャ座標の伝搬の削除

```
22
23     struct Attributes
24     {
25         float4 positionOS : POSITION;
26         float2 uv : TEXCOORD0;
27     };
28
29     struct Varyings
30     {
31         float4 positionHCS : SV_POSITION;
32         float2 uv : TEXCOORD0;
33     };
34
```

使用しない  
テクスチャ座標  
のメンバーを  
構造体から削除

```
21
22     struct Attributes
23     {
24         float4 positionOS : POSITION;
25     };
26
27     struct Varyings
28     {
29         float4 positionHCS : SV_POSITION;
30     };
31
```

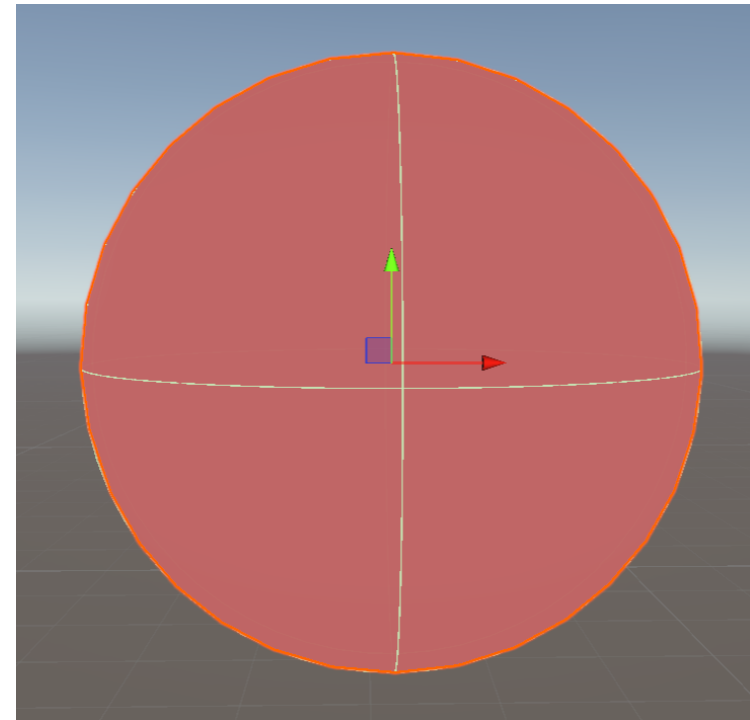
```
42
43     Varyings vert(Attributes IN)
44     {
45         Varyings OUT;
46         OUT.positionHCS = TransformObjectToHClip(IN.positionOS.xyz);
47         OUT.uv = TRANSFORM_TEX(IN.uv, _BaseMap);
48         return OUT;
49     }
50
```

ピクセルシェーダで使わないテクスチャ座標  
の受け渡しを、頂点シェーダから削除

```
35
36     Varyings vert(Attributes IN)
37     {
38         Varyings OUT;
39         OUT.positionHCS = TransformObjectToHClip(IN.positionOS.xyz);
40         return OUT;
41     }
42
```

# やってみよう

- Inspectorで色を変えて色を変更できることを確認しよう



Sphere(1)\_Emission  
プログラムワークショップIV

# アジェンダ

- おさらい
  - 発光
- Phongの反射モデル
  - 環境光
  - ランバート拡散反射モデル
  - 鏡面反射
  - Phongの反射モデル
- 古典反射モデル
  - ブリンフォン
  - メタリック
  - 異方性反射モデル
- 金属反射
  - フレネル
  - 幾何減衰項
  - Beckman分布関数
  - Cook-Torrance金属反射モデル
- 現代的な反射モデル
  - GGX分布
  - Frostbite拡散反射モデル
  - PBR
- 課題

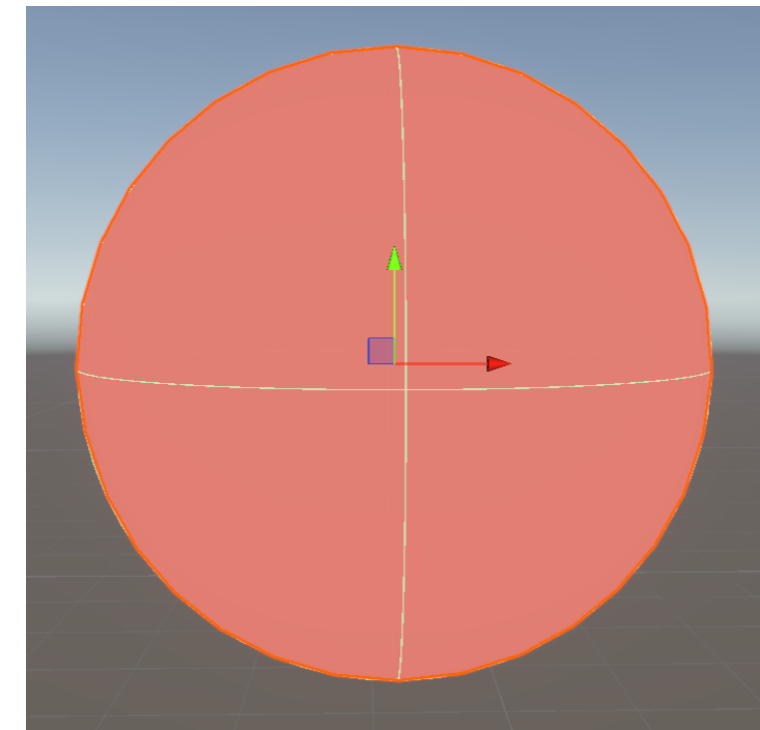
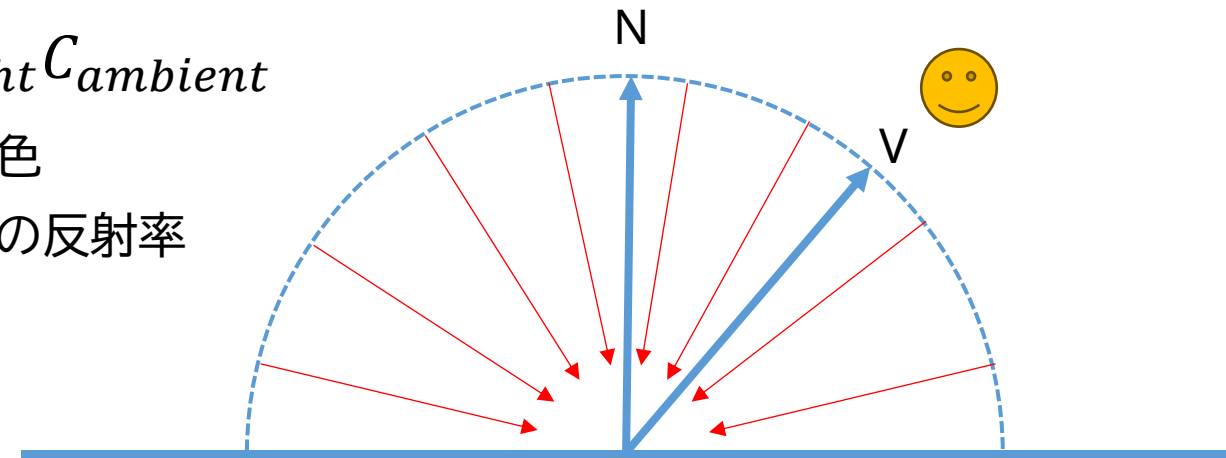
# 環境光

- 光源の光に比例する物体の一様な色
- 簡易的な間接照明
  - 「全方向から同じ強さで(他の物体からの)反射光により照らされている」というモデル
  - また、すべての方向に対して同じ強さで反射する

$$L_{ambient} = C_{light} C_{ambient}$$

$C_{light}$ : 光源の色

$C_{ambient}$ : 環境光の反射率



Sphere(2)\_AmbientLight

プログラムワークショップIV

# 光源情報の取得

- ・デフォルトで置かれる「Directional Light」オブジェクトの情報

```
19      #include "Packages/com.unity.render-pipelines.universal/ShaderLibrary/Core.hlsl"
20      #include "Packages/com.unity.render-pipelines.universal/ShaderLibrary/Lighting.hlsl" // 追加
43      half4 frag(Varyings IN) : SV_Target
44      {
45          // 追加
46          Light light = GetMainLight();
```

Use the `GetMainLight` and `GetAdditionalLight` methods to return this struct.

| Field                                  | Description  |
|--|--|
| <code>half3 direction</code>           | The direction of the light.  |
| <code>half3 color</code>               | The color of the light.  |
| <code>float distanceAttenuation</code> | The strength of the light, based on its distance from the object.    |
| <code>half shadowAttenuation</code>    | The strength of the light, based on whether the object is in shadow. |
| <code>uint layerMask</code>            | The <b>layer mask</b> of the light.                                  |

# 環境光の計算

- ここでは単に光源の色と固定色「\_BaseColor」を乗算する

```
43      ↓
44      ↓
45      ↓
46      ↓
47      ↓
48      ↓
49      ↓
half4 frag(Varyings IN) : SV_Target
{
    // 追加
    Light light = GetMainLight();
    half3 color = light.color * _BaseColor.rgb;
    return half4(color, 1);
}
```

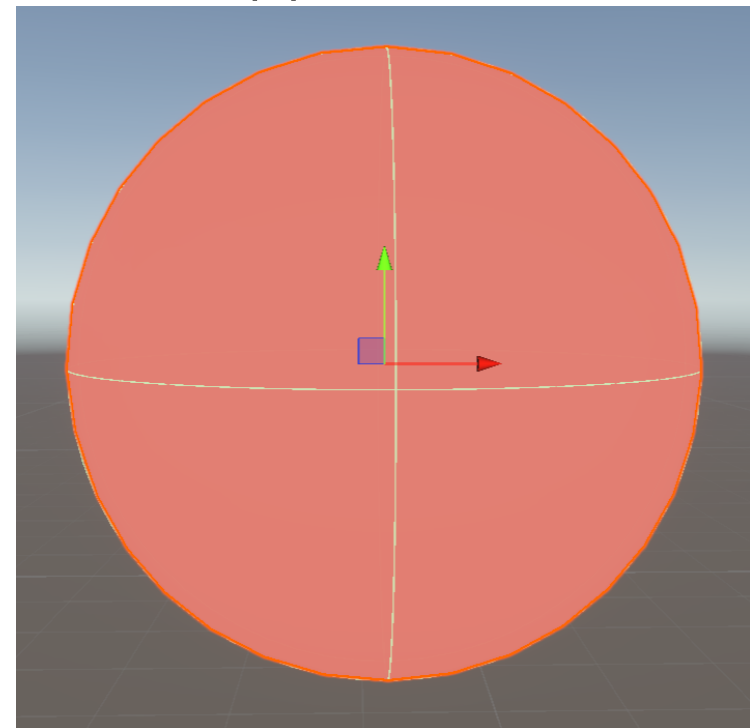
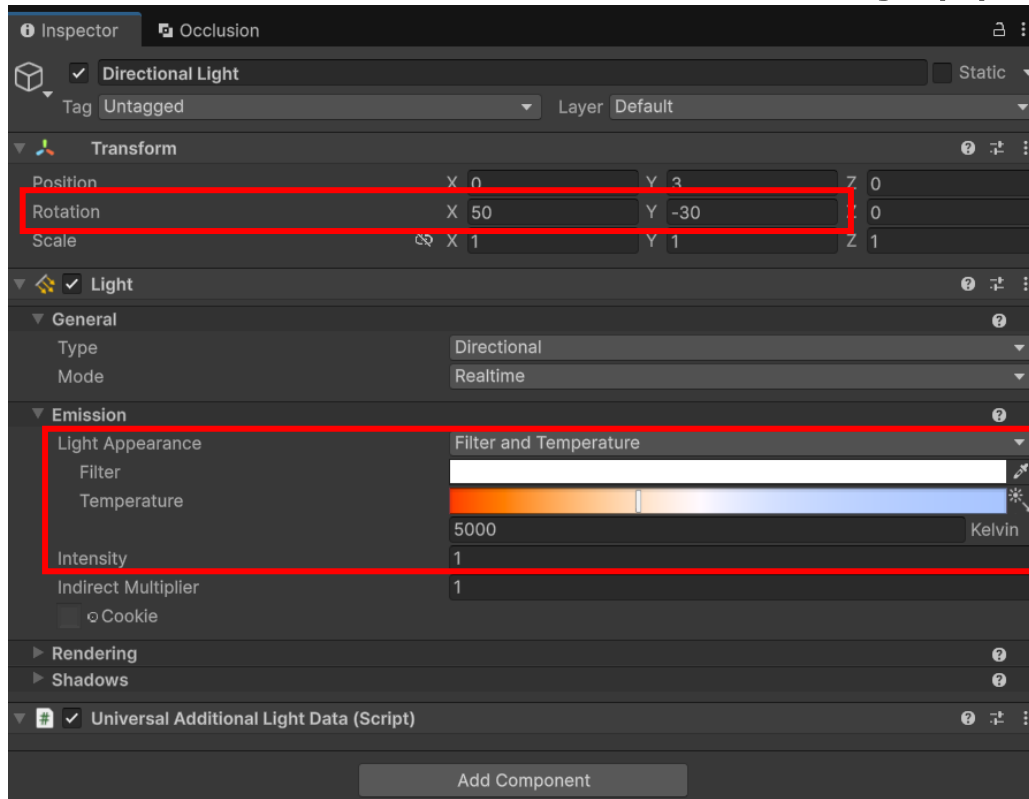
- ベクトルの成分ごとに計算が行われる

```
43      ↓
44      ↓
45      ↓
46      ↓
47      ↓
48      ↓
49      ↓
50      ↓
51      ↓
52      ↓
half4 frag(Varyings IN) : SV_Target
{
    // 追加
    Light light = GetMainLight();
    half3 color;
    color.r = light.color.r * _BaseColor.r;
    color.g = light.color.g * _BaseColor.g;
    color.b = light.color.b * _BaseColor.b;
    return half4(color, 1);
}
```

同じ処理

# やってみよう

- ・光の強さ・色を変えた時に物体の色が変わることを確認しよう
  - ・Emissionのマテリアルはライトの色の影響を受けないことも確認しよう



Sphere(2)\_AmbientLight

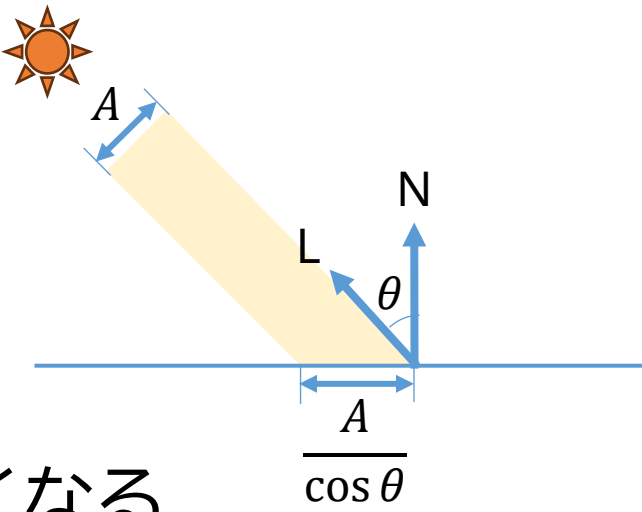
プログラムワークショップIV

# アジェンダ

- おさらい
  - 発光
- Phongの反射モデル
  - 環境光
  - ランバート拡散反射モデル
  - 鏡面反射
  - Phongの反射モデル
- 古典反射モデル
  - ブリンフォン
  - メタリック
  - 異方性反射モデル
- 金属反射
  - フレネル
  - 幾何減衰項
  - Beckman分布関数
  - Cook-Torrance金属反射モデル
- 現代的な反射モデル
  - GGX分布
  - Frostbite拡散反射モデル
  - PBR
- 課題

# ランバート拡散反射モデル

- 表面にあたる光の強さを等方的に反射(ざらざら)
- 光が照らす面積 $A$ は、法線からの傾き $\theta$ に応じて広くなる



- 照らす面積:  $\frac{A}{\cos \theta}$

- 面に当る光の強さ:  $C_{light} \cos \theta = C_{light} (N \cdot L)$

- ランバートの余弦則

- 照らす面積に反比例

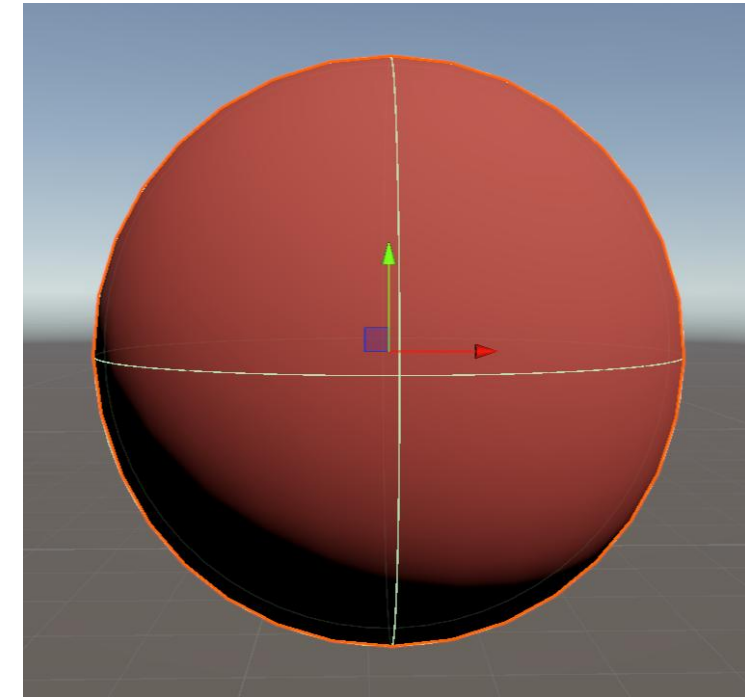
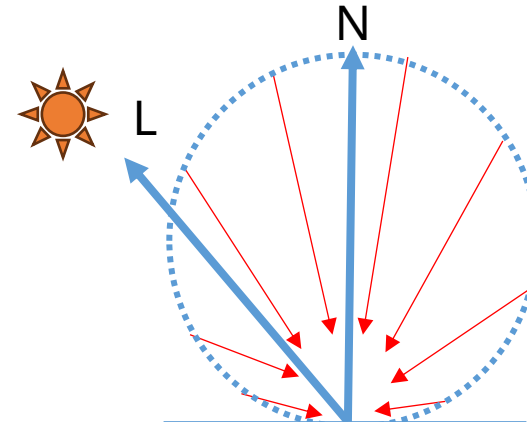
- 余弦が負の(裏から光が当たる)場合には0とする

$$L_{lambert} = C_{light} C_{lambert} (N \cdot L)_+$$

$C_{light}$ : 光源の色

$C_{lambert}$ : 拡散反射率

$$(\cdot)_+ : \max(0, \cdot) = \begin{cases} \cdot & (0 < \cdot) \\ 0 & otherwise \end{cases}$$



Sphere(3)\_Lambert

プログラムワークショップIV

# 法線をピクセルシェーダに渡す

- セマンティクスとして受け取り、渡す
  - ワールド空間に変換
    - 光源の向きがワールド空間で渡されるため
    - カメラ空間が望ましい
      - 位置だと精度が落ちる

```
22
23     <-->
24     <-->
25     <-->
26     <-->
27     <-->
28     <-->
29     <-->
30     <-->
31     <-->
32

    struct Attributes
    {
        float4 positionOS : POSITION;
        float3 normal : NORMAL;
    };

    struct Varyings
    {
        float4 positionHCS : SV_POSITION;
        float3 normal : NORMAL;
    };
}
```

```
34
35     Varyings vert(Attributes IN)
36     {
37         Varyings OUT;
38         OUT.positionHCS = TransformObjectToHClip(IN.positionOS.xyz);
39         OUT.normal = TransformObjectToWorldNormal(IN.normal);
40         return OUT;
41     }
42 }
```

# 環境光の計算

- 法線と光源への向きの余弦を(非負の値に制限して)計算

```
46 half4 frag(Varyings IN) : SV_Target
47 {
48     Light light = GetMainLight();
49     half3 color = light.color * _BaseColor.rgb * max(0, dot(IN.normal, light.direction));
50     return half4(color, 1);
51 }
```

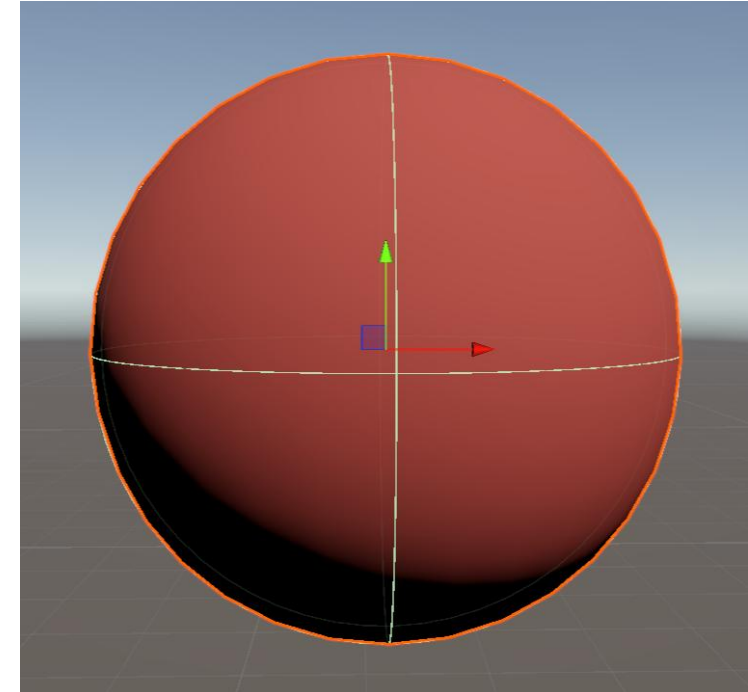
- 同じ計算をする組み込み関数も用意されている
  - 組み込み関数が使えるだけではなく、中身を実装できるようにしておこう

同じ処理

```
46 half4 frag(Varyings IN) : SV_Target
47 {
48     Light light = GetMainLight();
49     half3 color = _BaseColor.rgb * LightingLambert(light.color, light.direction, IN.normal);
50     return half4(color, 1);
51 }
```

# やってみよう

- ・光の向き・色を変えた時に物体の色が変わることを確認しよう
  - ・Emissionや環境光のマテリアルはライトの向きの影響を受けないことも確認しよう



Sphere(3)\_Lambert  
プログラムワークショップIV

# アジェンダ

- おさらい
  - 発光
- Phongの反射モデル
  - 環境光
  - ランバート拡散反射モデル
  - 鏡面反射
  - Phongの反射モデル
- 古典反射モデル
  - ブリンフォン
  - メタリック
  - 異方性反射モデル
- 金属反射
  - フレネル
  - 幾何減衰項
  - Beckman分布関数
  - Cook-Torrance金属反射モデル
- 現代的な反射モデル
  - GGX分布
  - Frostbite拡散反射モデル
  - PBR
- 課題

# (Phongの)鏡面反射光

- てかっているハイライトを入れたい
- 入射方向の正反射方向 $R$ と視線方向 $V$ が近いと明るい

- 入射方向の正反射方向:  $R = \text{reflect}(-L, N)$

- $\text{reflect}(i, n) = i - 2 n (i \cdot n)$

$$L_{\text{Phong}} = C_{\text{light}} C_{\text{Phong}} (R \cdot V)_+^n$$

$C_{\text{light}}$ : 光源の色

$C_{\text{Phong}}$ : 鏡面反射率

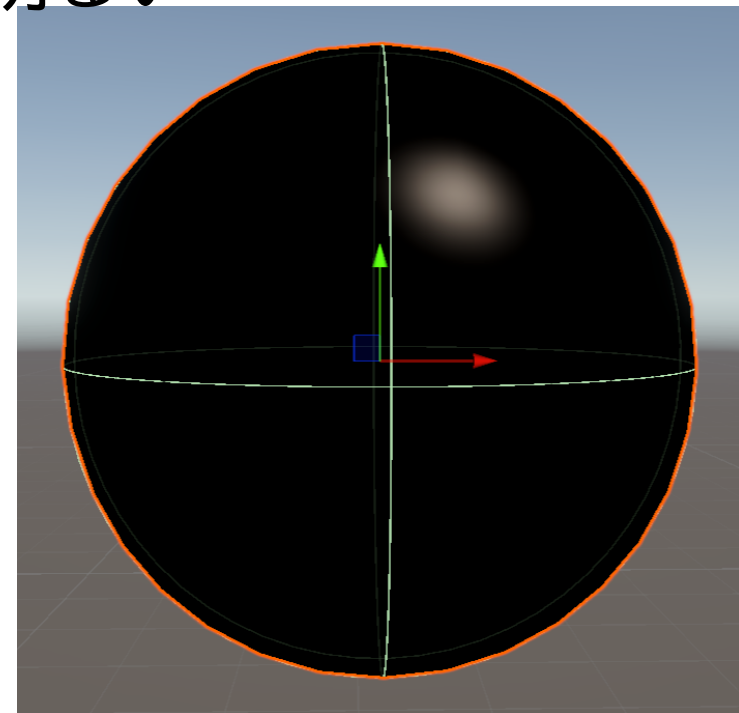
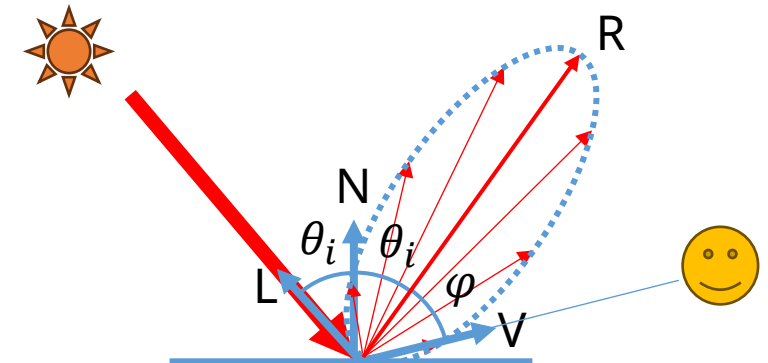
$R$ : 光の正反射方向( $R = -L + 2N(L \cdot N)$ )

$L$ : ライトベクトル

$N$ : 法線ベクトル

$V$ : ビュー(視線)ベクトル

$n$ : 鏡面反射指数



Sphere(4)\_Specular

プログラムワークショップIV

# ビューベクトルの取得

- 位置を渡してカメラの位置との差分から求める

- カメラ位置はカメラ空間の原点
  - ワールド空間へカメラ原点を変換

```
29          ↓           struct Varyings
30          ↓           {
31          ↓           float4 positionHCS : SV_POSITION;
32          ↓           float3 normal : NORMAL;
33          ↓           float3 position : TEXCOORD0;
34       };
```

```
41          ↓           Varyings vert(Attributes IN)
42          ↓           {
43          ↓           Varyings OUT;
44          ↓           OUT.positionHCS = TransformObjectToHClip(IN.positionOS.xyz);
45          ↓           OUT.normal = TransformObjectToWorldNormal(IN.normal);
46          ↓           OUT.position = TransformObjectToWorld(IN.positionOS.xyz);
47          ↓           return OUT;
48       }
```

```
50          ↓           half4 frag(Varyings IN) : SV_Target
51          ↓           {
52          ↓           Light light = GetMainLight();
53          ↓           half3 normal = normalize(IN.normal); // 滑らかにするために正規化し直す
54          ↓           half3 view_direction = normalize(TransformViewToWorld(float3(0, 0, 0)) - IN.position);
```

- 位置を使わない近似も軽量にできるため、よく使われる
  - カメラ空間の正面の向きをワールド空間での方向に変換する
    - 頂点位置ごとの微妙な向きの違いは出せない



# パラメータの追加

- 新しいパラメータを追加する
  - Specular Power: 鏡面反射指数
  - Specular Intensity: 鏡面反射係数
    - 塗装などの誘電体は色が乗らないので、今回はスカラーにしてみた

```
3      |          Properties
4      v          {
5      |          _SpecularPower ("Specular Power", Range(0.001, 300)) = 80
6      |          _SpecularIntensity ("Specular Intensity", Range(0, 1)) = 0.3
7      }
```

```
36     |          CBUFFER_START(UnityPerMaterial)
37     |          half _SpecularPower;
38     |          half _SpecularIntensity;
39     |          CBUFFER_END
```

# (Phongの)鏡面反射光

- Phongの鏡面反射光の計算に従って鏡面反射を計算

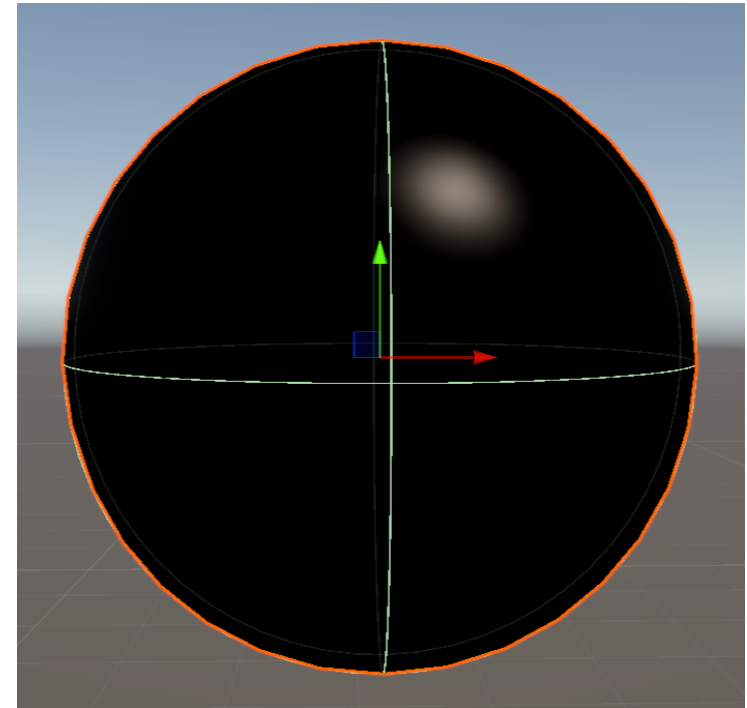
$$L_{Phong} = C_{light} C_{Phong} (R \cdot V)_+^n$$

- 55行目: 反射ベクトルの算出
- 58行目: 鏡面反射率の計算
- 60行目: 光源の色を反映

```
50 half4 frag(Varyings IN) : SV_Target
51 {
52     Light light = GetMainLight();
53     half3 normal = normalize(IN.normal); // 滑らかにするために正規化し直す ← 地味に書き換えています(そのままだと汚い)
54     half3 view_direction = normalize(TransformViewToWorld(float3(0, 0, 0)) - IN.position);
55     float3 reflected_direction = -light.direction + 2 * normal * dot(light.direction, normal);
56     half3 reflected_direction = reflect(-light.direction, normal); // reflect関数を使う場合はこちら
57
58     half3 specular = _SpecularIntensity * pow(max(0, dot(reflected_direction, view_direction)), _SpecularPower);
59
60     half3 color = light.color * specular;
61     return half4(color, 1);
62 }
```

# やってみよう

- ・光の向き、視点を変えた時に物体の色が変わることを確認しよう
  - ・Emissionや環境光、拡散光のマテリアルは視線の向きの影響を受けないことも確認しよう

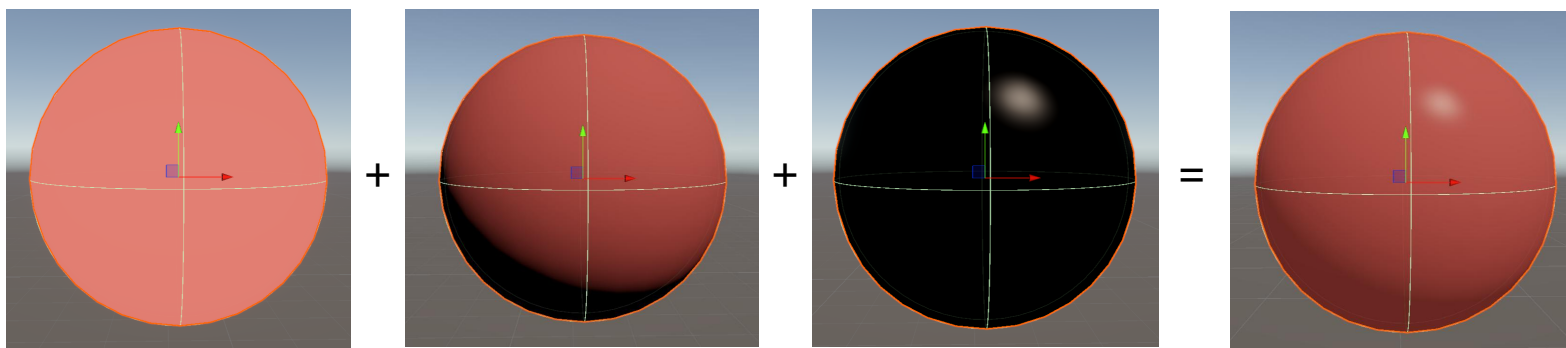


Sphere(4)\_Specular  
プログラムワークショップIV

# アジェンダ

- おさらい
  - 発光
- Phongの反射モデル
  - 環境光
  - ランバート拡散反射モデル
  - 鏡面反射
  - Phongの反射モデル
- 古典反射モデル
  - ブリンフォン
  - メタリック
  - 異方性反射モデル
- 金属反射
  - フレネル
  - 幾何減衰項
  - Beckman分布関数
  - Cook-Torrance金属反射モデル
- 現代的な反射モデル
  - GGX分布
  - Frostbite拡散反射モデル
  - PBR
- 課題

# Phongモデル



- Phongの鏡面反射とLambert拡散と環境光の合算

$$L_{PhongModel} = L_{ambient} + L_{lambert} + L_{Phong}$$

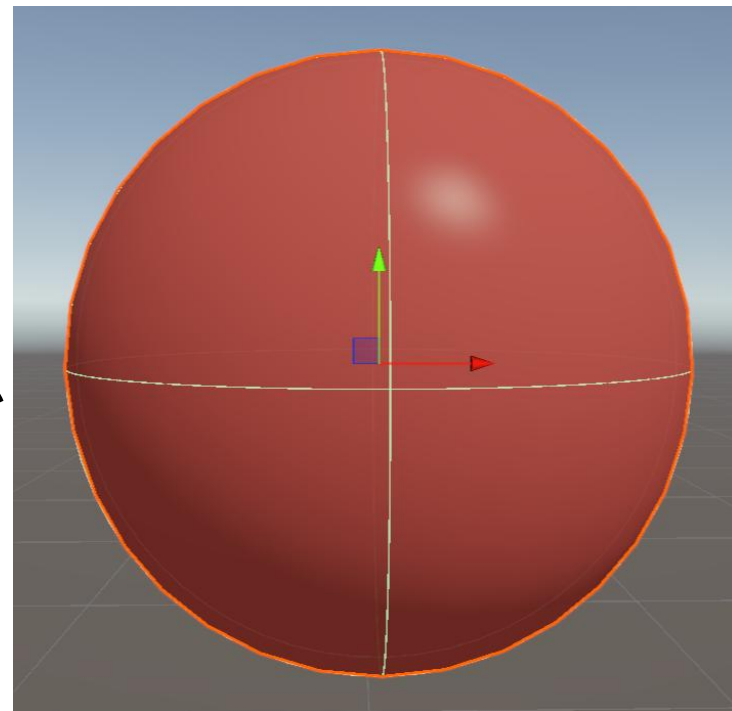
$$L_{ambient} = C_{light} C_{ambient}$$

$$L_{lambert} = C_{light} C_{lambert} (N \cdot L)_+$$

$$L_{Phong} = C_{light} C_{Phong} (R \cdot V)_+^n$$

- 拡散反射と環境光の色味が同じことが多いので  
アルベド(物体の白さ)として統合する事も多い

$$L_{PhongModel} = C_{light} (C_{albedo} (k_{ambient} + k_{lambert} (N \cdot L)_+) + C_{Phong} (R \cdot V)_+^n)$$



$C_{albedo}$ : アルベド(物体の白さ),  $k_{ambient}$ : 環境光の係数,  $k_{Lambert}$ : 拡散反射光の係数

Sphere(5)\_PhongModel

プログラムワークショップIV

# 頂点シェーダ

- 鏡面反射光と同じ
  - 入出力のデータも変更なし

```
25
26
27
28
29
30
31
32
33
34
35
36
```

|  |  |  |                                   |
|--|--|--|-----------------------------------|
|  |  |  | struct Attributes                 |
|  |  |  | {                                 |
|  |  |  | float4 positionOS : POSITION;     |
|  |  |  | float3 normal : NORMAL;           |
|  |  |  | };                                |
|  |  |  | struct Varyings                   |
|  |  |  | {                                 |
|  |  |  | float4 positionHCS : SV_POSITION; |
|  |  |  | float3 normal : NORMAL;           |
|  |  |  | float3 position : TEXCOORD0;      |
|  |  |  | };                                |

```
45
46
47
48
49
50
51
52
```

|                              |  |
|------------------------------|--|
| Varyings vert(Attributes IN) | {  |
|                              | Varyings OUT;  |
|                              | OUT.positionHCS = TransformObjectToHClip(IN.positionOS.xyz); |
|                              | OUT.normal = TransformObjectToWorldNormal(IN.normal);        |
|                              | OUT.position = TransformObjectToWorld(IN.positionOS.xyz);    |
|                              | return OUT;  |
|                              | }  |

# ピクセルシェーダ

- 明るくなりすぎないように環境光と拡散光の強さを内挿計算で調整

$$\begin{aligned}
 C_{ambient} + C_{lambert}(N \cdot L)_+ &= C_{albedo}(k_{ambient} + k_{lambert}(N \cdot L)_+) \\
 &= C_{albedo}k_{ambient} + C_{albedo}(1 - k_{ambient})(N \cdot L)_+
 \end{aligned}$$

$k_{lambert} = 1 - k_{ambient}$

```

3      Properties
4      {
5          [MainColor] _BaseColor("Base Color", Color) = (1, 1, 1, 1)
6          _AmbientRate("Ambient Rate", Range(0, 1)) = 0.2
7          _SpecularPower("Specular Power", Range(0.001, 300)) = 80
8          _SpecularIntensity("Specular Intensity", Range(0, 1)) = 0.3
9      }

```

```

38      CBUFFER_START(UnityPerMaterial)
39          half4 _BaseColor;
40          half _AmbientRate;
41          half _SpecularPower;
42          half _SpecularIntensity;
43      CBUFFER_END

```

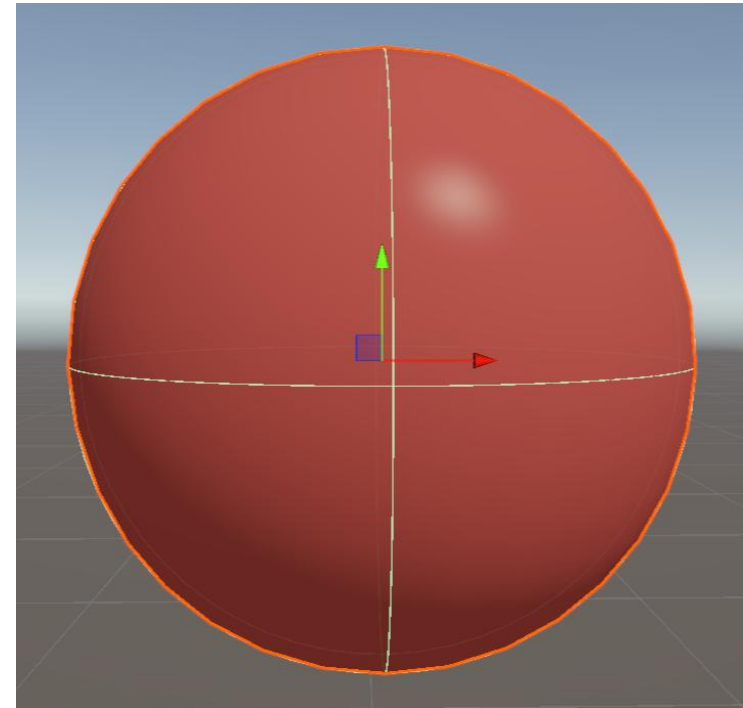
```

54      half4 frag(Varyings IN) : SV_Target
55      {
56          Light light = GetMainLight();
57          half3 normal = normalize(IN.normal);
58          half3 view_direction = normalize(TransformViewToWorld(float3(0, 0, 0)) - IN.position);
59          float3 reflected_direction = -light.direction + 2 * normal * dot(light.direction, normal);
60
61          half3 ambient = _BaseColor.rgb;
62          half3 lambert = _BaseColor.rgb * max(0, dot(IN.normal, light.direction));
63          half3 specular = _SpecularIntensity * pow(max(0, dot(reflected_direction, view_direction)), _SpecularPower);
64
65          half3 color = light.color * (specular + lerp(lambert, ambient, _AmbientRate));
66          return half4(color, 1),
67      }

```

# やってみよう

- ・光の向き、視点を変えた時に物体の色が変わることを確認しよう
  - ・それぞれのパラメータがどのように影響しているのか確認しよう



Sphere(5)\_PhongModel

プログラムワークショップIV

# アジェンダ

- おさらい
  - 発光
- Phongの反射モデル
  - 環境光
  - ランバート拡散反射モデル
  - 鏡面反射
  - Phongの反射モデル
- 古典反射モデル
  - ブリンフォン
  - メタリック
  - 異方性反射モデル
- 金属反射
  - フレネル
  - 幾何減衰項
  - Beckman分布関数
  - Cook-Torrance金属反射モデル
- 現代的な反射モデル
  - GGX分布
  - Frostbite拡散反射モデル
  - PBR
- 課題

# レンダリング方程式

- 表面反射の一般化(羊羹のような透け感のある質感は対象外)

$$\begin{aligned} L_{output}(x; \omega_o) &= L_{emissive}(x; \omega_o) + \int_{\Omega_+} d\omega f_r(x; \omega \rightarrow \omega_o) \cos(N(x), \omega) L(\omega) \\ &= L_{emissive}(x; \omega_o) + \int_{\Omega} d\omega f_r(x; \omega \rightarrow \omega_o) (N(x) \cdot \omega)_+ L(\omega) \end{aligned}$$

  
↑  
↑  
↑  
**発光**      **BRDF**      **Lambert余弦則**

BRDF (Bidirectional Reflectance Distribution Function): 双方向反射率分布関数  
表面上の各点 $x$ における、入射方向 $\omega$ から反射方向 $\omega_o$ への光の反射率

# 物理的なBRDF

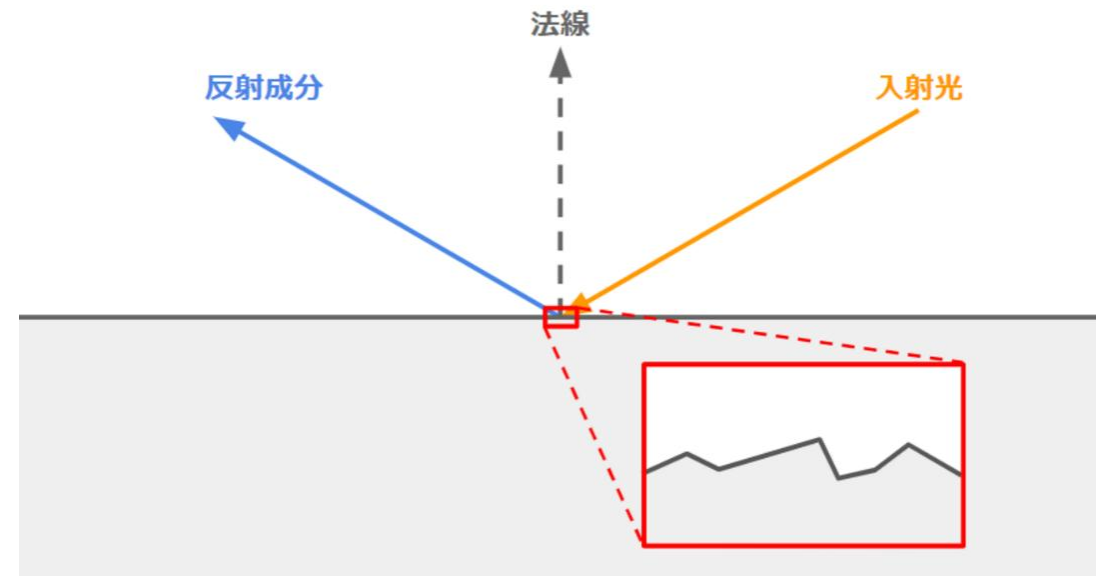
- 物理的なBRDFと呼ばれるBRDFは次の特性を持つ
  - 正値性:  $0 \leq f_r(x; \omega \rightarrow \omega_o)$
  - ヘルムホルツの相反性:  $f_r(x; \omega \rightarrow \omega_o) = f_r(x; \omega_o \rightarrow \omega)$ 
    - 物理法則の時間反転普遍性
  - エネルギーの保存:  $\forall \omega_o, \int_{\Omega} d\omega f_r(x; \omega \rightarrow \omega_o)(N(x) \cdot \omega)_+ \leq 1$
- 注:ただし、これらの特性を満たしていても物理的にありえないBRDFは存在する
  - 上記は、あくまでも物理法則の一部

# アジェンダ

- おさらい
  - 発光
- Phongの反射モデル
  - 環境光
  - ランバート拡散反射モデル
  - 鏡面反射
  - Phongの反射モデル
- 古典反射モデル
  - ブリンフォン
  - メタリック
  - 異方性反射モデル
- 金属反射
  - フレネル
  - 幾何減衰項
  - Beckman分布関数
  - Cook-Torrance金属反射モデル
- 現代的な反射モデル
  - GGX分布
  - Frostbite拡散反射モデル
  - PBR
- 課題

# マイクロファセットモデル

- この特性を考慮に入れて反射モデルは発展を続けてきた
- マイクロファセットモデル
  - 表面を微視的にみると、小さな鏡面の集まりで構成されている
  - 各鏡面では完全鏡面反射(入射した光は、正反射方向にしか反射しない)
  - 物理的な制約は、マイクロファセットの法線分布の制約などに入ってくる



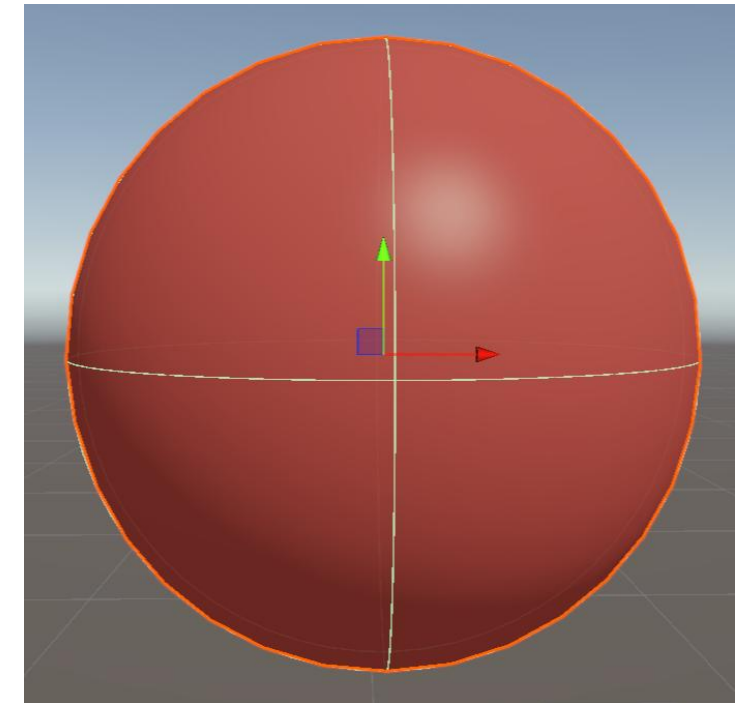
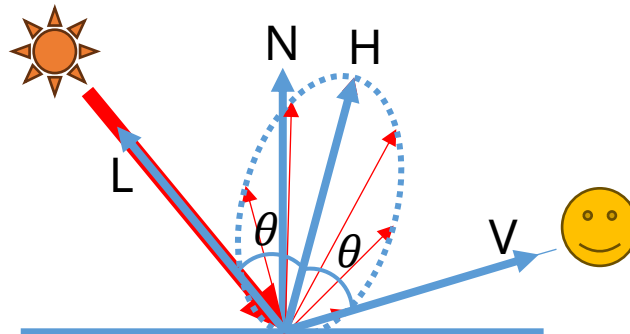
# Blinn - Phongの鏡面反射モデル

- ハイライトが生じるのは、マイクロファットモデルで、マイクロファセットがいろいろな方向を向いているから
  - いろいろな方向を向いた鏡面の反射の平均が通常みている反射
    - 視線と光源方向の中間が法線の向きと一致していれば完全反射の状況になっているはず(反射が強い状況)

$$L_{BlinnPhong} = C_{light} C_{BlinnPhong} (H \cdot N)_+^n,$$

$$H = \frac{L+V}{|L+V|}$$
: ハーフベクトル

定義から $L$ と $V$ を入れ替えても不变



Sphere(6)\_Blinn\_Phong

プログラムワークショップIV

# ハーフベクトルを使ったシェーディング

- ・ハーフベクトルは $L + V$ をその大きさで割るのではなく、 $L + V$ の正規化で導出

```
54     half4 frag(Varyings IN) : SV_Target
55     {
56         Light light = GetMainLight();
57         half3 normal = normalize(IN.normal);
58         half3 view_direction = normalize(TransformViewToWorld(float3(0, 0, 0)) - IN.position);
59         half3 half_vector = normalize(view_direction + light.direction);
60         half HdotN = max(0, dot(half_vector, normal));
61
62         half3 ambient = _BaseColor.rgb;
63         half3 lambert = BaseColor.rgb * max(0, dot(light.direction, normal));
64         half3 specular = _SpecularIntensity * pow(HdotN, _SpecularPower);
65
66         half3 color = light.color * (specular + lerp(lambert, ambient, _AmbientRate));
67         return half4(color, 1);
68     }
```

# 組み込み関数: LightingSpecular

- Unityでは、組み込み関数があり、細かな鏡面反射計算を省ける

```
59      float3 half_vector = normalize(view_direction + light.direction);
60      half LdotN = max(0, dot(light.direction, normal));
61      half HdotN = max(0, dot(half_vector, normal));
62
63      half3 ambient = _BaseColor.rgb;
64      half3 Lambert = _BaseColor.rgb * LdotN;
65      half3 specular = _SpecularIntensity * pow(HdotN, _SpecularPower);
```



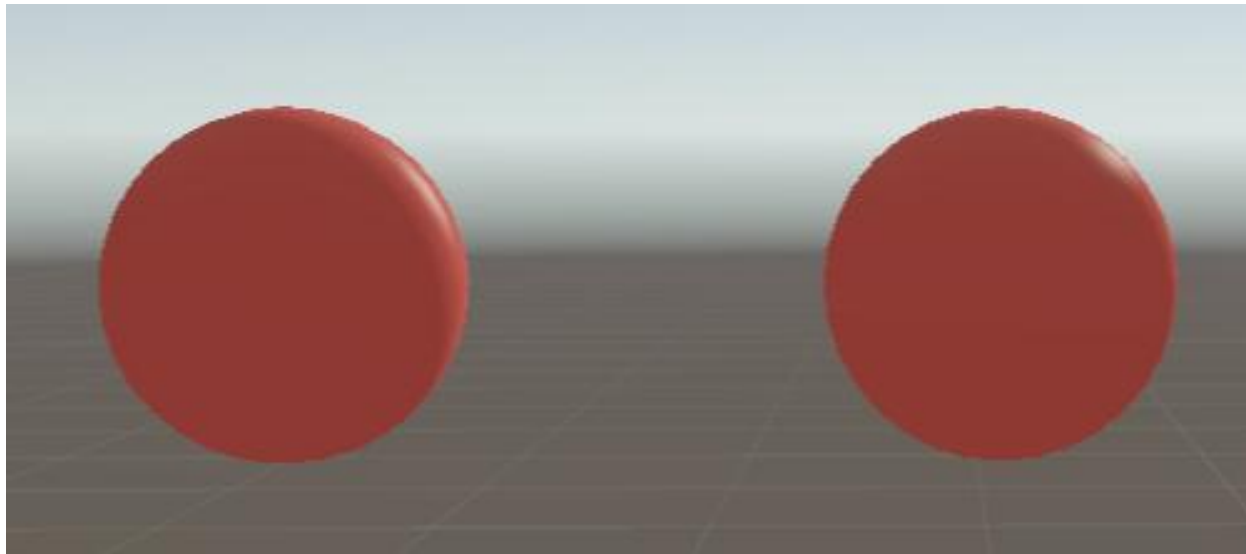
同じ処理

```
64      half3 specular = LightingSpecular(1, light.direction, normal, view_direction,
65                                         _SpecularIntensity, _SpecularPower);
66
67      half3 color = light.color * (specular + lerp(Lambert, ambient, _AmbientRate));
```

光源の色を入れてまとめることもできる

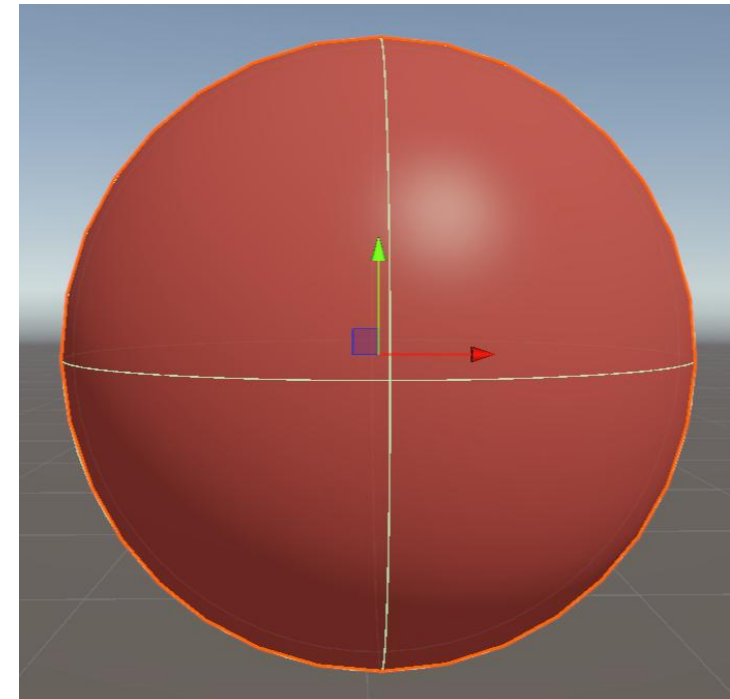
# やってみよう

- ・光の向き、視点を変えた時に物体の色が変わることを確認しよう
  - ・PhongとBlinn-Phongで光の向きを変えた時に、ハイライトがどのように変化するか確認しよう



Phong

Blinn-Phong



Sphere(6)\_Blinn\_Phong

プログラムワークショップIV

# アジェンダ

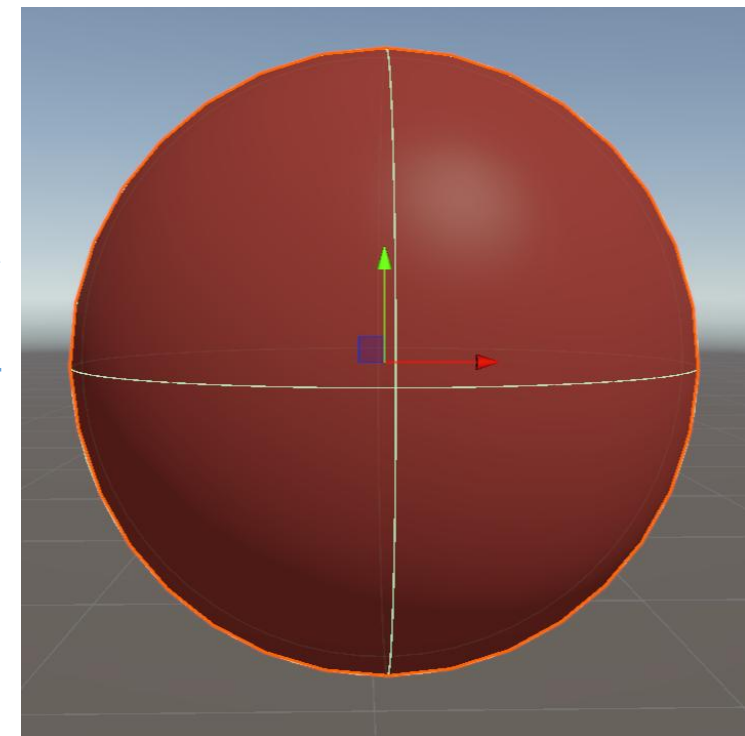
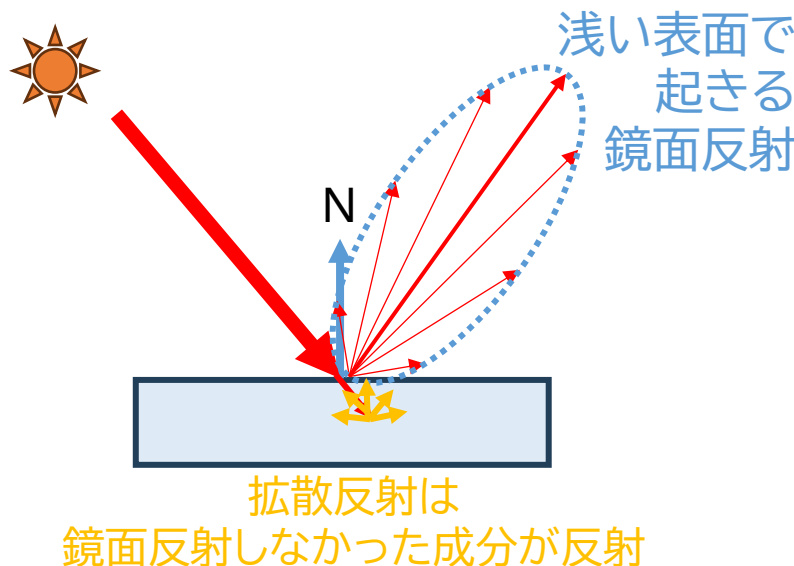
- おさらい
  - 発光
- Phongの反射モデル
  - 環境光
  - ランバート拡散反射モデル
  - 鏡面反射
  - Phongの反射モデル
- 古典反射モデル
  - ブリンフォン
  - **メタリック**
  - 異方性反射モデル
- 金属反射
  - フレネル
  - 幾何減衰項
  - Beckman分布関数
  - Cook-Torrance金属反射モデル
- 現代的な反射モデル
  - GGX分布
  - Frostbite拡散反射モデル
  - PBR
- 課題

# メタリック

- 拡散反射(と環境光)は鏡面反射していない成分の光による反射
  - 鏡面反射があるなら、その分、拡散反射は減るべき

$$\begin{aligned}L &= (1 - k_{Metallic})(L_{lambert} + L_{ambient}) + k_{Metallic}L_{specular} \\&= \text{lerp}(L_{lambert} + L_{ambient}, L_{specular}, k_{Metallic})\end{aligned}$$

金属反射でなくても「メタリック」というパラメータで呼ばれる



Sphere(7)\_Metallic  
プログラムワークショップIV

# パラメータ追加

- 変数の追加

- Properties, 定数バッファ

- パラメータの繁栄

- ピクセルシェーダ

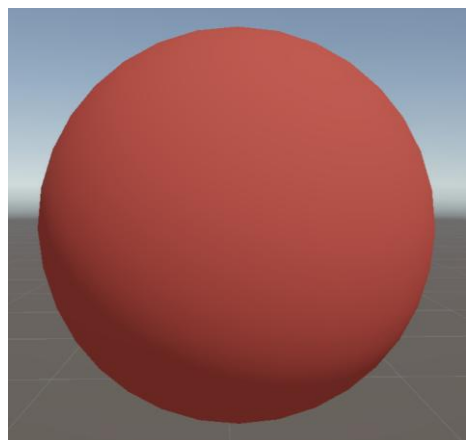
```
3      Properties
4      {
5          [MainColor] _BaseColor("Base Color", Color) = (0.86, 0.39, 0.39, 1)
6          _AmbientRate("Ambient Rate", Range(0, 1)) = 0.2
7          _SpecularPower("Specular Power", Range(0.001, 300)) = 80
8          _SpecularIntensity("Specular Intensity", Range(0, 1)) = 0.3
9          _Metallic("Metallic", Range(0, 1)) = 0.5
10     }
```

```
39      CBUFFER_START(UnityPerMaterial)
40          half4 _BaseColor;
41          half _AmbientRate;
42          half _SpecularPower;
43          half _SpecularIntensity;
44          half _Metallic;
45      CBUFFER_END
```

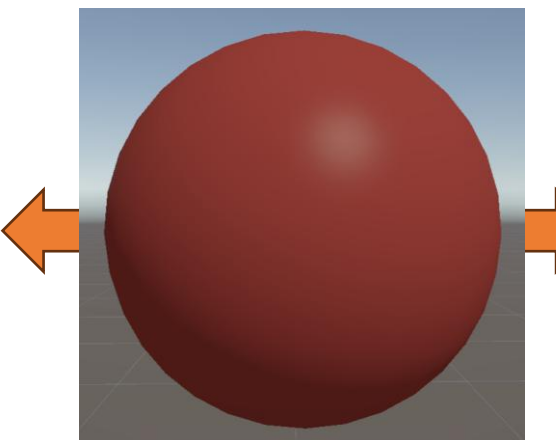
```
56      half4 frag(Varyings IN) : SV_Target
57      {
58          Light light = GetMainLight();
59          half3 normal = normalize(IN.normal);
60          half3 view_direction = normalize(TransformViewToWorld(float3(0, 0, 0)) - IN.position);
61          float3 half_vector = normalize(view_direction + light.direction);
62          half HdotN = max(0, dot(half_vector, normal));
63
64          half3 ambient = _BaseColor.rgb;
65          half3 lambert = _BaseColor.rgb * max(0, dot(light.direction, normal));
66          half3 specular = _SpecularIntensity * pow(HdotN, _SpecularPower);
67
68          half3 color = light.color *
69              lerp(lerp(lambert, ambient, _AmbientRate), specular, _Metallic);
70          return half4(color, 1);
71      }
```

# やってみよう

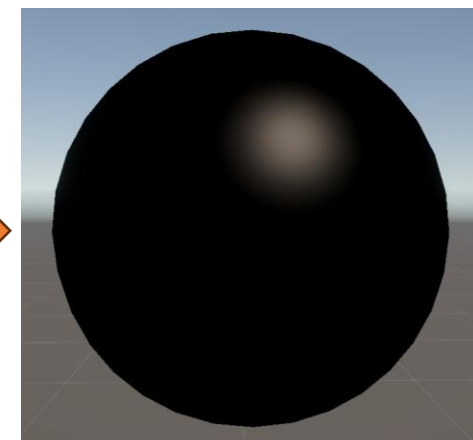
- メタリックパラメータを変えた時に質感が変わることを確認しよう



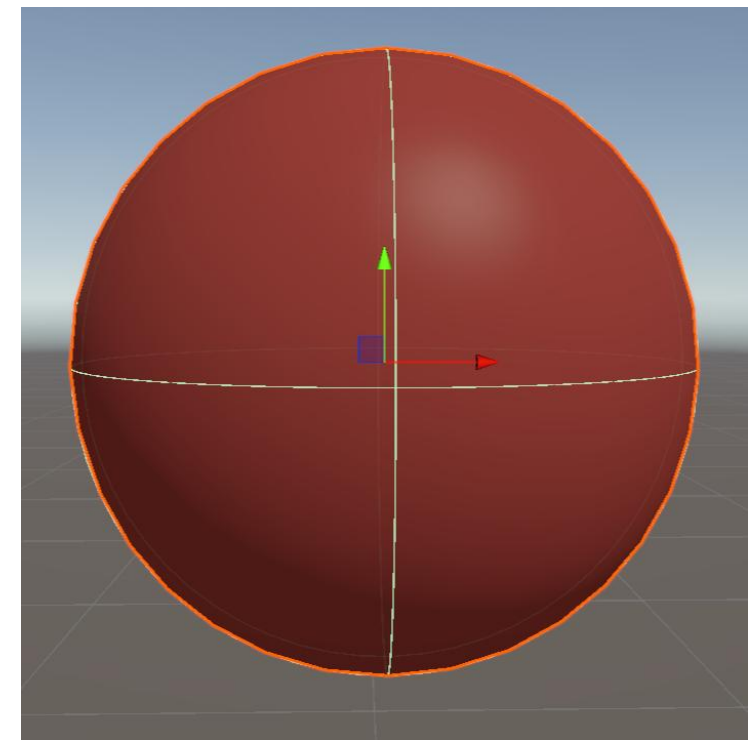
0%メタリック



50%メタリック



100%メタリック



Sphere(7)\_Metallic

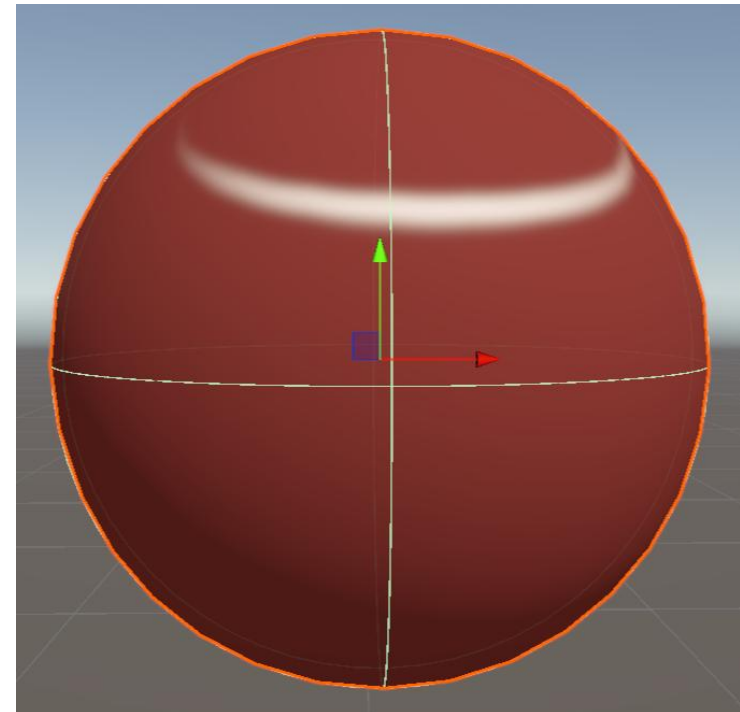
プログラムワークショップIV

# アジェンダ

- おさらい
  - 発光
- Phongの反射モデル
  - 環境光
  - ランバート拡散反射モデル
  - 鏡面反射
  - Phongの反射モデル
- 古典反射モデル
  - ブリンフォン
  - メタリック
  - 異方性反射モデル
- 金属反射
  - フレネル
  - 幾何減衰項
  - Beckman分布関数
  - Cook-Torrance金属反射モデル
- 現代的な反射モデル
  - GGX分布
  - Frostbite拡散反射モデル
  - PBR
- 課題

# 異方性反射モデル

- ・ハイライトは円形とは限らない
  - ・特異な構造をしていると、ハイライトは一方向に伸びる
- ・異方性反射:
  - ・反射光の成分が入射方向の接線成分にも依存する



Sphere(8)\_Anisotropic

プログラムワークショップIV

# Walterモデル

- 接方向 $x, y$ に対して、独立して粗さを設定し  
接方向ごとに鏡面反射の粗さを制御する

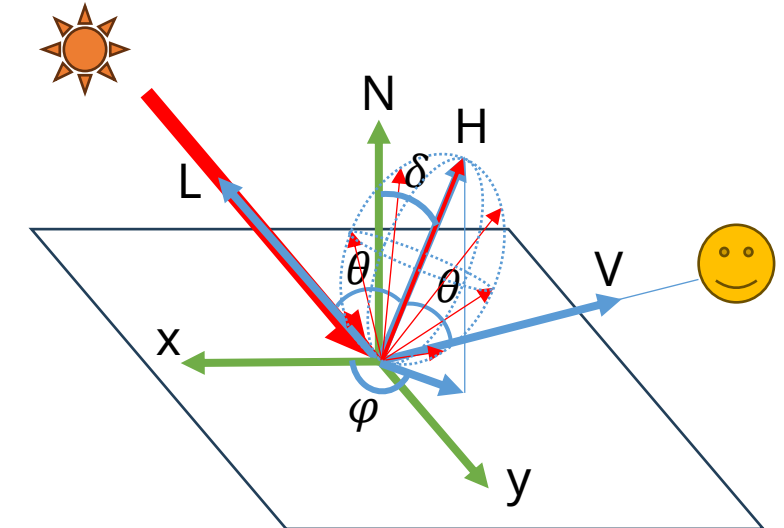
$$f_r = \rho_s \frac{1}{\sqrt{(L \cdot N)(V \cdot N)}} \frac{e^c}{4\pi\alpha_x\alpha_y}$$

$$c = -\frac{1}{(H \cdot N)^2} \left\{ \left( \frac{H \cdot x}{\alpha_x} \right)^2 + \left( \frac{H \cdot y}{\alpha_y} \right)^2 \right\}$$

$\rho_s$ : 鏡面反射係数

$\alpha_x, \alpha_y$ : 粗さのパラメータ

- 異方性反射モデルは他にも提案されているが、実装の容易さから  
今回はWalterモデルを採用した

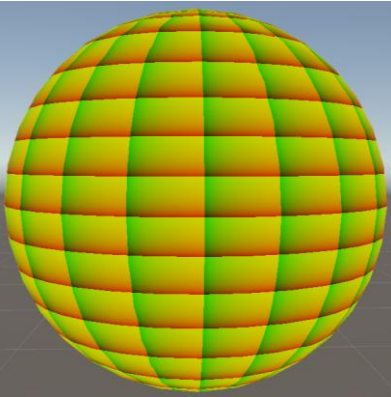


# 接ベクトル

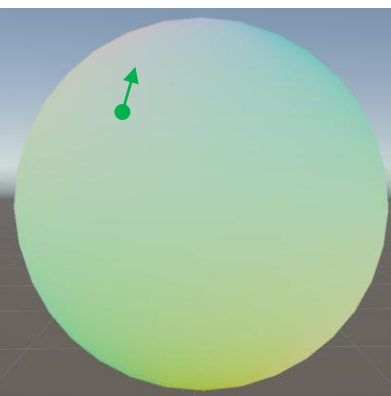
- 接方向としてテクスチャ座標が増える向きがよく使われる
  - 法線ベクトルと同じようにテクスチャ座標の増える向きを取得できる
    - 従法線ベクトル: binormal
      - U(テクスチャ座標のx成分:赤成分)方向の減る方向
    - 接ベクトル: tangent
      - V(テクスチャ座標のy成分:緑成分)方向の減る方向
- 向きはUnityが定めた取り方で、別のツール・環境だと異なりうる

注:これらは、DirectXのセマンティクスに端を発した(リアルタイム)CG特有の命名であり、通常の数学の使われ方とは違う

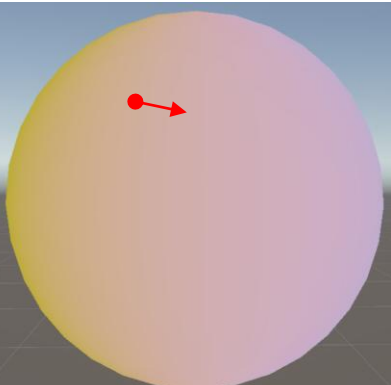
- 通常は、接ベクトルも従法線ベクトルも共に接ベクトルと呼ばれる



テクスチャ座標  
(20倍して小数部を取得)



従法線ベクトル



接ベクトル

# 接ベクトルの取得

- 接ベクトルと従法線ベクトルと法線ベクトルは直交しているので2つがわかれれば残りの1つは外積で計算できる
- Unityでは、APIの右手系と左手系の差を吸収するために、接ベクトルを4次元に拡張し、従法線ベクトルの向きの符号をw成分に格納しているらしい

```
27   ↓
28   ↓
29   ↓
30   ↓
31   ↓
32   ↓
33   ↓
34   ↓
35   ↓
36   ↓
37   ↓
38   ↓
39   ↓
40   ↓
```

```
struct Attributes
{
    float4 positionOS : POSITION;
    float3 normal : NORMAL;
    float4 tangent : TANGENT;
};

struct Varyings
{
    float4 positionHCS : SV_POSITION;
    float3 normal : NORMAL;
    float4 tangent : TANGENT;
    float3 position : TEXCOORD0;
};
```

```
51   ↓
52   ↓
53   ↓
54   ↓
55   ↓
56   ↓
57   ↓
58   ↓
59   ↓
```

```
Varyings vert(Attributes IN)
{
    Varyings OUT;
    OUT.positionHCS = TransformObjectToHClip(IN.positionOS.xyz);
    OUT.normal = TransformObjectToWorldNormal(IN.normal);
    OUT.tangent = float4(TransformObjectToWorldNormal(float3(IN.tangent.xyz)), IN.tangent.w);
    OUT.position = TransformObjectToWorld(IN.positionOS.xyz);
    return OUT;
}
```

接ベクトルについて法線ベクトルの座標変換を使うのは間違い。  
ただ、異方性の拡大縮小でしか差が出ないので、手抜きをする

```
61   ↓
62   ↓
63   ↓
64   ↓
65   ↓
```

```
half4 frag(Varyings IN) : SV_Target
{
    half3 normal = normalize(IN.normal); // 滑らかにするために正規化し直す
    half3 binormal = normalize(cross(normal, IN.tangent.xyz) * IN.tangent.w);
    half3 tangent = cross(binormal, normal) * IN.tangent.w;
```

# パラメータの追加

- 接ベクトル方向と従法線ベクトル方向の粗さのパラメータを追加

```
3      | Properties
4      | {
5      |   [MainColor] _BaseColor("Base Color", Color) = (0.86, 0.39, 0.39, 1)
6      |   _SpecularIntensity("Specular Intensity", Range(0, 1)) = 0.3
7      |   _AmbientRate("Ambient Rate", Range(0, 1)) = 0.2
8      |   _RoughnessX("Roughness X", Range(0, 1)) = 0.8
9      |   _RoughnessY("Roughness Y", Range(0, 1)) = 0.2
10     |   _Metallic("Metallic", Range(0, 1)) = 0.5
11     }
```

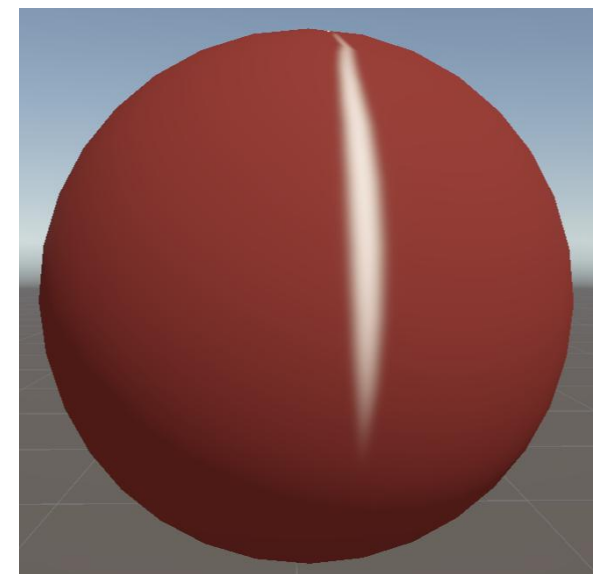
```
42    CBUFFER_START(UnityPerMaterial)
43        half4 _BaseColor;
44        half _SpecularIntensity;
45        half _AmbientRate;
46        half _RoughnessX;
47        half _RoughnessY;
48        half _Metallic;
49    CBUFFER_END
```

# ピクセルシェーダ

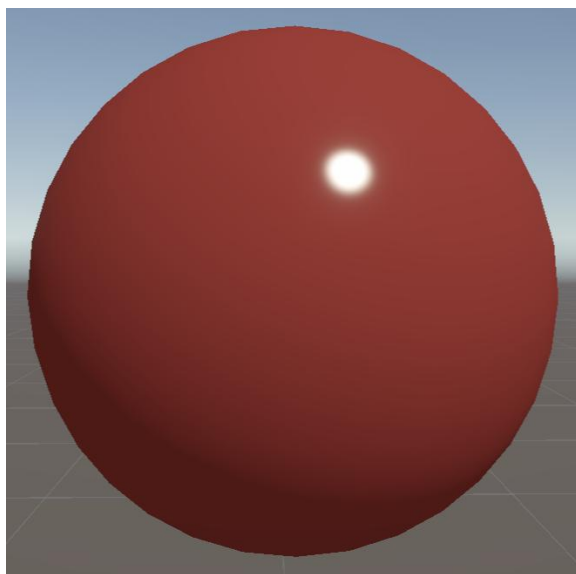
```
61 half4 frag(Varyings IN) : SV_Target
62 {
63     half3 normal = normalize(IN.normal); // 滑らかにするために正規化し直す
64     half3 binormal = normalize(cross(normal, IN.tangent.xyz) * IN.tangent.w);
65     half3 tangent = cross(binormal, normal) * IN.tangent.w;
66
67     Light light = GetMainLight();
68     half3 view_direction = normalize(TransformViewToWorld(float3(0, 0, 0)) - IN.position);
69     half3 half_vector = normalize(light.direction + view_direction);
70     half VdotN = max(0.000001, dot(view_direction, normal));
71     half LdotN = max(0.000001, dot(light.direction, normal)); 発散しないように0になるのを抑える
72     half HdotN = max(0.000001, dot(half_vector, normal));
73
74     half alphaX = _RoughnessX * _RoughnessX; 他の照明モデルに合わせて、粗さ(roughness)の
75     half alphaY = _RoughnessY * _RoughnessY; 自乗 $\alpha_x, \alpha_y$ を鋭さのパラメータに採用
76     half XdotH = dot(tangent, half_vector);
77     half YdotH = dot(binormal, half_vector);
78
79     half3 ambient = _BaseColor.rgb;
80     half3 lambert = _BaseColor.rgb * LdotN; 拡散反射光もLdotNを使って簡潔に表現
81     half c = (XdotH*XdotH/(alphaX*alphaX) + YdotH*YdotH/(alphaY*alphaY))/(HdotN * HdotN);
82     half3 specular = _SpecularIntensity* exp(-c) / sqrt(LdotN * VdotN) / (4 * PI * alphaX * alphaY);
83
84     half3 color = light.color *
85         lerp(lerp(lambert, ambient, _AmbientRate), specular, _Metallic);
86     return half4(color, 1);
87 }
```

# やってみよう

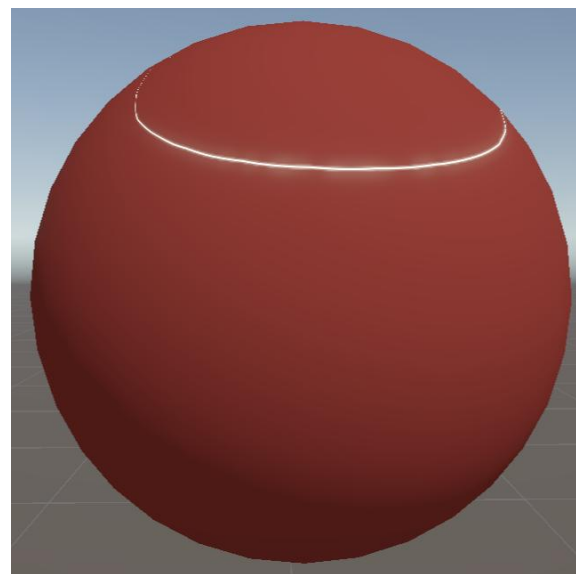
- 各軸方向の粗さを変えた時に質感が変わることを確認しよう



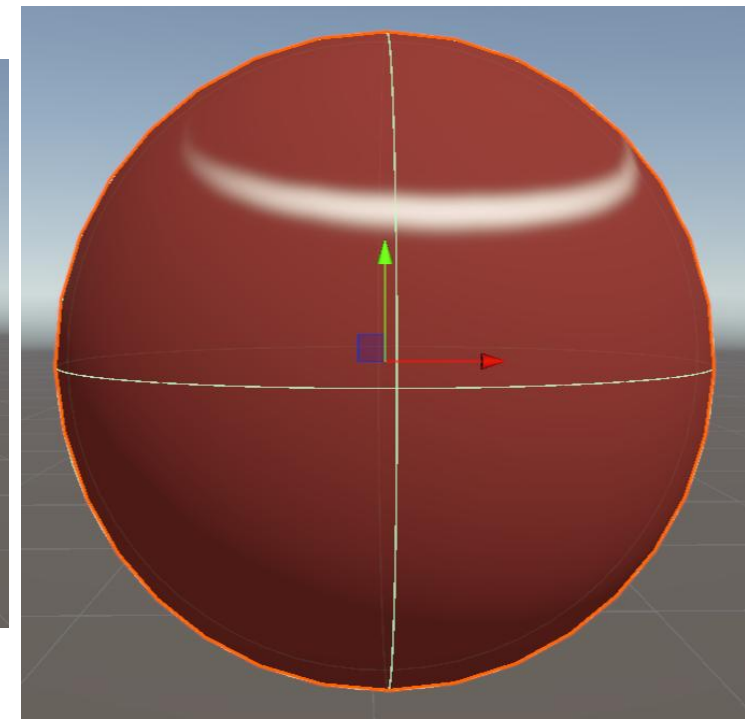
Roughness X: 0.2  
Roughness Y: 0.8



Roughness X: 0.2  
Roughness Y: 0.2



Roughness X: 0.99  
Roughness Y: 0.04



Sphere(8)\_Anisotropic

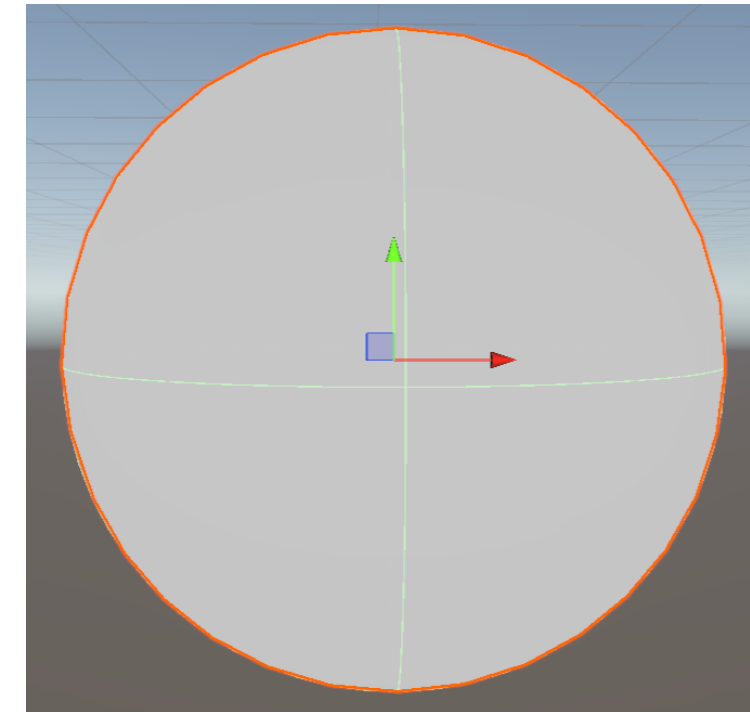
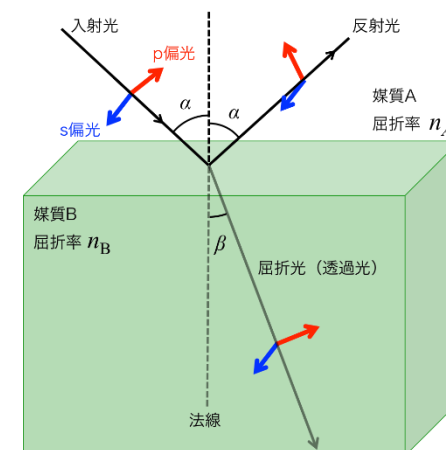
プログラムワークショップIV

# アジェンダ

- おさらい
  - 発光
- Phongの反射モデル
  - 環境光
  - ランバート拡散反射モデル
  - 鏡面反射
  - Phongの反射モデル
- 古典反射モデル
  - ブリンフォン
  - メタリック
  - 異方性反射モデル
- 金属反射
  - フレネル
  - 幾何減衰項
  - Beckman分布関数
  - Cook-Torrance金属反射モデル
- 現代的な反射モデル
  - GGX分布
  - Frostbite拡散反射モデル
  - PBR
- 課題

# フレネル

- 表面の反射率は材質で決まる
  - 電磁気学のマックスウェル方程式に従う
  - 周波数ごとに反射率は異なる
    - 金属は鏡面反射に色がつく(正面反射率は大きい)
    - 誘電体は無色で十分な場合が多い(正面反射率は小さい)
- フレネルの式:反射・透過率の関係
- ゲームではSchlick近似が有名
$$F_{\text{Schlick}} = F_0 + (1 - F_0)(1 - V \cdot H)^5$$
- Far Cry 3で使われた手法も良い
$$F_{\text{FarCry3}} = F_0 + (1 - F_0)e^{-6V \cdot H}$$



Sphere(9)\_Fresnel

プログラムワークショップIV

# Schlick近似の実装

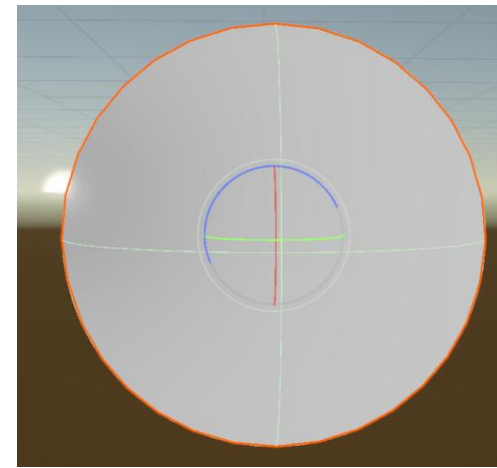
- ・パラメータの追加
- ・ピクセルシェーダ

```
3      ↓      Properties
4      ↓      {
5      ↓      }      _Fresnel0("Fresnel0", Range(0, 0.99999)) = 0.8
6
35     ↓      CBUFFER_START(UnityPerMaterial)
36     ↓      half _Fresnel0;
37
CBUFFER_END
```

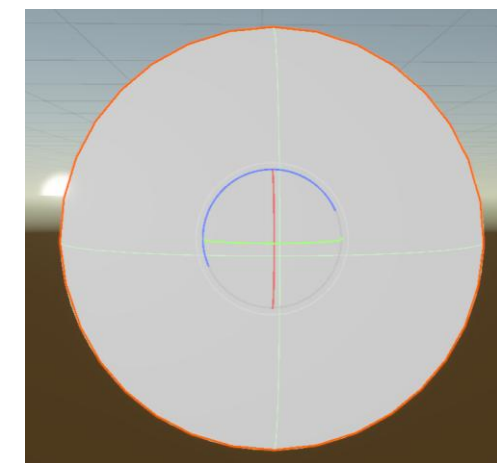
```
63
64
65      ↓      half4 frag(Varyings IN) : SV_Target
66      ↓      {
67          Light light = GetMainLight();
68          half3 normal = normalize(IN.normal);
69          half3 view_direction = normalize(TransformViewToWorld(float3(0, 0, 0)) - IN.position);
70          half3 half_vector = normalize(light.direction + view_direction);
71          half VdotH = max(0, dot(view_direction, half_vector));
72
73          half F = _Fresnel0 + (1-_Fresnel0) * pow(1 - VdotH, 5); // Schlick近似
74
75          half3 color = F;
    return half4(color, 1);}
```

# 他の実装への差し替えの挑戦

- ・近似なし(偏光は考慮せず)
  - ・光源が正対する場合に違いあり(落ち込む効果が表れる)



```
48     half FresnelReflectanceAverageDielectric(float co, float f0)
49     {
50         float root_f0 = sqrt(f0);
51         float n = (1 + root_f0) / (1 - root_f0);
52         float n2 = n * n;
53
54         float si2 = 1 - co * co;
55         float nb = sqrt(n2 - si2);
56         float bn = nb / n2;
57
58         float r_s = (co - nb) / (co + nb);
59         float r_p = (co - bn) / (co + bn);
60         return 0.5 * (r_s * r_s + r_p * r_p);
61     }
62
63     half F = FresnelReflectanceAverageDielectric(VdotH, _Fresnel0); // S波P波平均の無近似
```

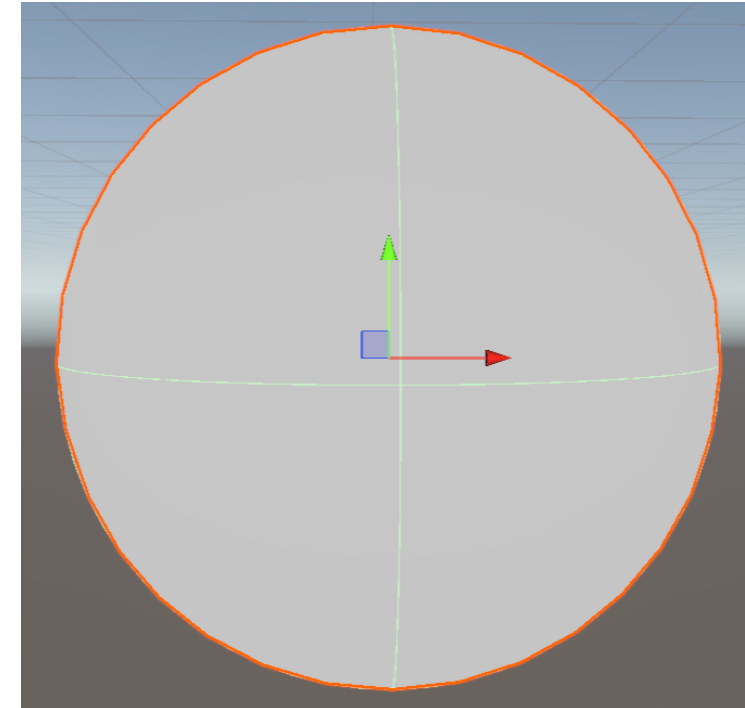


- ・Far Cry 3 近似

```
74     half F = _Fresnel0 + (1-_Fresnel0) * exp(-6 * VdotH); // FarCry3近似
```

# やってみよう

- 正面反射率や光源方向を変えた時の明るさの違いを確認しよう
  - 実際に使われるフレネル値(Linear)
    - プラスチック:0.03-0.05
    - ガラス: 0.03-0.08
    - ダイアモンド:0.17
    - 金属: (挑戦:色成分ごとに反射率を変えてみよう)
      - 金: (1.00, 0.71, 0.29)
      - 鉄: (0.56, 0.57, 0.58)
      - アルミニウム: (0.92, 0.92, 0.92)

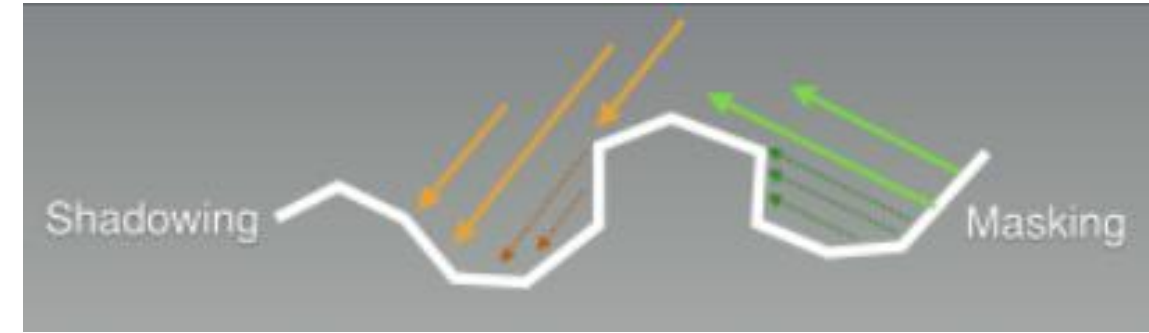


Sphere(9)\_Fresnel

# アジェンダ

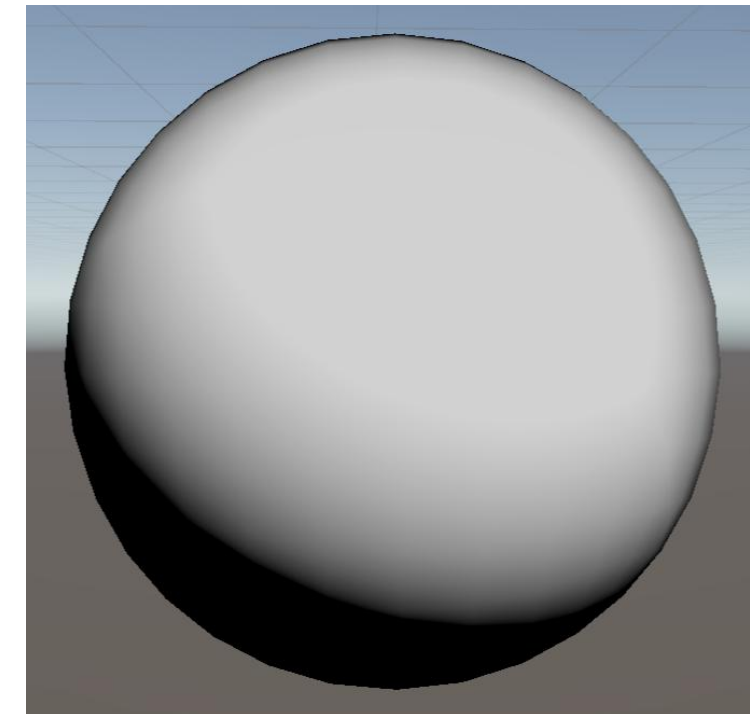
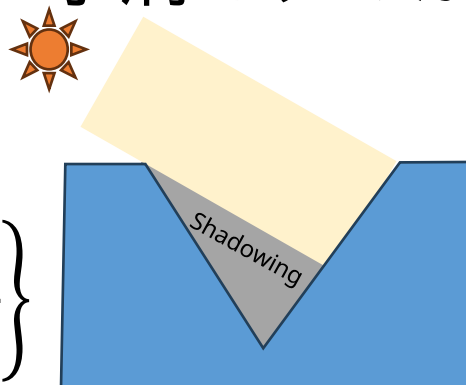
- おさらい
  - 発光
- Phongの反射モデル
  - 環境光
  - ランバート拡散反射モデル
  - 鏡面反射
  - Phongの反射モデル
- 古典反射モデル
  - ブリンフォン
  - メタリック
  - 異方性反射モデル
- 金属反射
  - フレネル
  - **幾何減衰項**
  - Beckman分布関数
  - Cook-Torrance金属反射モデル
- 現代的な反射モデル
  - GGX分布
  - Frostbite拡散反射モデル
  - PBR
- 課題

# 幾何減衰項



- マイクロファセットの反射光が他のマイクロファセットの影響により遮られる
  - シャドウイング: ほかのマイクロファセットに遮られて入射光が届かない
  - マスキング: ほかのマイクロファセットに反射放出光が遮られる
- これらの効果を考慮するためにV字溝モデルが提案された
  - 今回は導出はしない

$$G = \min \left\{ 1, \frac{2(N \cdot H)(V \cdot N)}{V \cdot H}, \frac{2(N \cdot H)(L \cdot N)}{L \cdot H} \right\}$$



Sphere(10)\_GeometryAttenuation

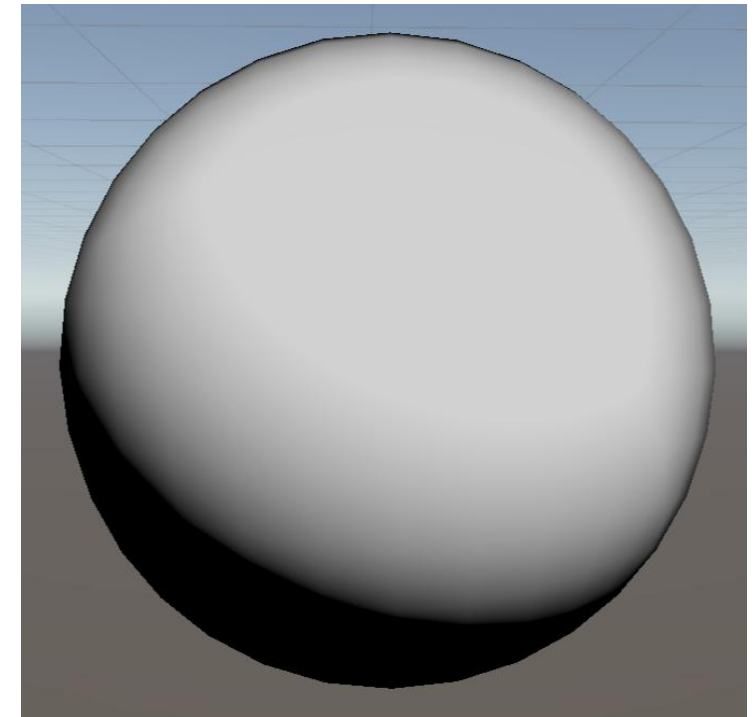
# 実装

- ・ピクセルシェーダ
  - ・自乗の計算でpowを使うのは重いので、同じものを掛けている

```
48      half4 frag(Varyings IN) : SV_Target
49      {
50          Light light = GetMainLight();
51          half3 normal = normalize(IN.normal);
52          half3 view_direction = normalize(TransformViewToWorld(float3(0, 0, 0)) - IN.position);
53          half3 half_vector = normalize(light.direction + view_direction);
54          half VdotN = max(0, dot(view_direction, normal));
55          half LdotN = max(0, dot(light.direction, normal));
56          half HdotN = max(0, dot(half_vector, normal));
57          half LdotH = max(0, dot(half_vector, light.direction));
58          half VdotH = max(0, dot(half_vector, view_direction));
59
60          half G = min(1, 2 * min(HdotN * VdotN / VdotH, HdotN * LdotN / LdotH));
61          half3 color = G;
62          return half4(color, 1);
63      }
```

# やってみよう

- 光源方向を変えた時の明るさの違いを確認しよう



Sphere(10)\_GeometryAttenuation

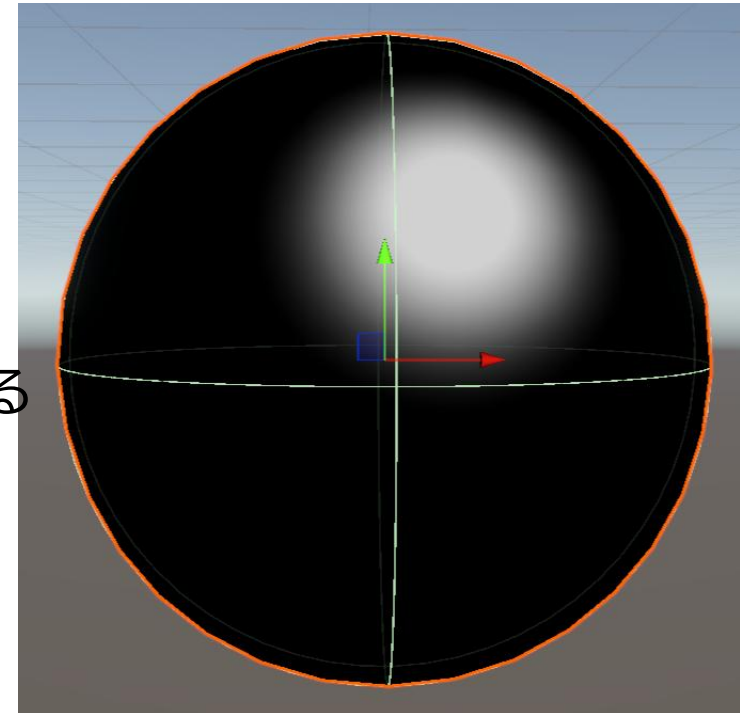
# アジェンダ

- おさらい
  - 発光
- Phongの反射モデル
  - 環境光
  - ランバート拡散反射モデル
  - 鏡面反射
  - Phongの反射モデル
- 古典反射モデル
  - ブリンフォン
  - メタリック
  - 異方性反射モデル
- 金属反射
  - フレネル
  - 幾何減衰項
  - Beckman分布関数
  - Cook-Torrance金属反射モデル
- 現代的な反射モデル
  - GGX分布
  - Frostbite拡散反射モデル
  - PBR
- 課題

# 法線分布関数

- 各方向に対する、マイクロファセットが向いている割合
- Beckmann分布関数
  - 金属反射を再現するために使われた分布関数
- $$D = \frac{1}{\alpha^2(H \cdot N)^4} e^{-\left(\frac{\tan(\arccos(H \cdot N))}{\alpha}\right)^2}$$
- $\alpha$ : 向きの平均自乗
  - 大きい: マイクロファセットの向きがバラバラになり粗くなる
  - 小さい: マイクロファセットの向きがそろい鋭いハイライト
- BRDFへの適用

$$f_r = \frac{FDG}{4(N \cdot L)(N \cdot V)}$$



Sphere(11)\_DistributionFunction  
プログラムワークショップIV

# パラメータの追加

- 表面の粗さ

```
3      Properties
4      {
5          [MainColor] _BaseColor ("Base Color", Color) = (0.86, 0.39, 0.39, 1)
6          _Roughness ("Roughness", Range(0, 1)) = 0.4
7      }
```

```
36      CBUFFER_START(UnityPerMaterial)
37          half4 BaseColor;
38          half _Roughness;
39      CBUFFER_END
```

# ピクセルシェーダ

Expの指数の計算に次の式変形を使った

$$\tan^2(\arccos(H \cdot N)) = \frac{\sin^2(\arccos(H \cdot N))}{\cos^2(\arccos(H \cdot N))} = \frac{1 - (H \cdot N)^2}{(H \cdot N)^2}$$

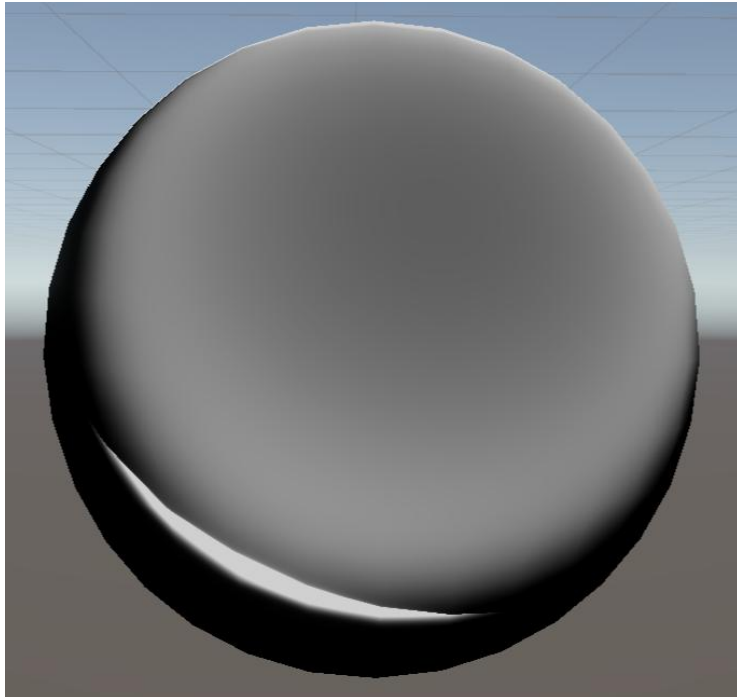
```
50
51
52 half4 frag(Varyings IN) : SV_Target
53 {
54     Light light = GetMainLight();
55     half3 normal = normalize(IN.normal);
56     half3 view_direction = normalize(TransformViewToWorld(float3(0, 0, 0)) - IN.position);
57     half3 half_vector = normalize(light.direction + view_direction);
58
59     half VdotN = max(0, dot(view_direction, normal));
60     half LdotN = max(0.00001, dot(light.direction, normal));
61     half HdotN = max(0, dot(half_vector, normal));
62
63     half alpha2 = _Roughness * _Roughness * _Roughness * _Roughness;
64
65     float D = exp(-(1 - HdotN * HdotN) / (HdotN * HdotN * alpha2))
66         / (4 * alpha2 * HdotN * HdotN * HdotN * HdotN);
67
68     half3 color = D / (4 * LdotN * VdotN); FやGを除いたBRDF
69     color = saturate(color); 値が大きくなりすぎる
70     return half4(color, 1);
71 }
```

$\alpha$ が向きの平均自乗

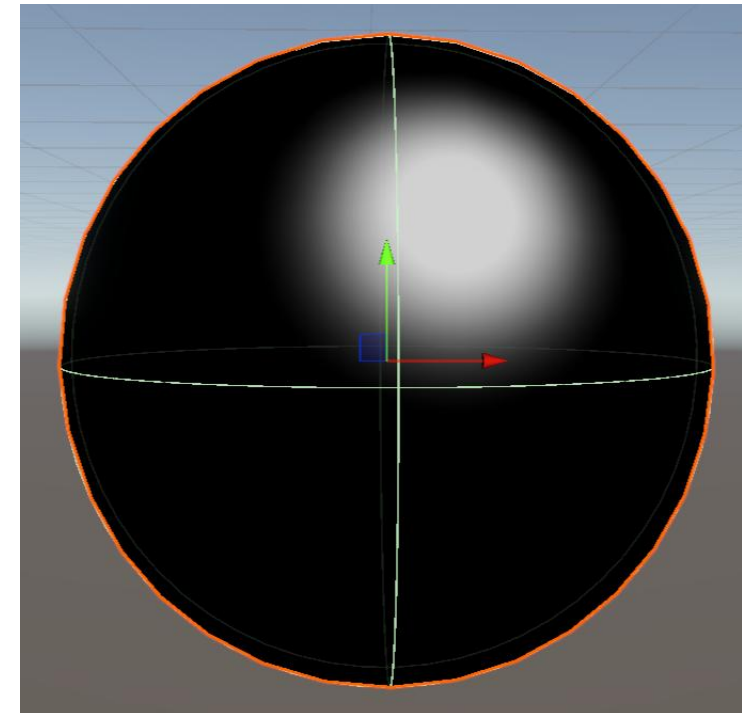
FやGを除いたBRDF  
値が大きくなりすぎる

# やってみよう

- 粗さのパラメータや光源方向を変えた時の違いを確認しよう



粗すぎるとアーティファクトが発生(後ででなくなる)



Sphere(11)\_DistributionFunction  
プログラムワークショップIV

# アジェンダ

- おさらい
  - 発光
- Phongの反射モデル
  - 環境光
  - ランバート拡散反射モデル
  - 鏡面反射
  - Phongの反射モデル
- 古典反射モデル
  - ブリンフォン
  - メタリック
  - 異方性反射モデル
- 金属反射
  - フレネル
  - 幾何減衰項
  - Beckman分布関数
  - Cook-Torrance金属反射モデル
- 現代的な反射モデル
  - GGX分布
  - Frostbite拡散反射モデル
  - PBR
- 課題

# Cook-Torrance金属反射モデル

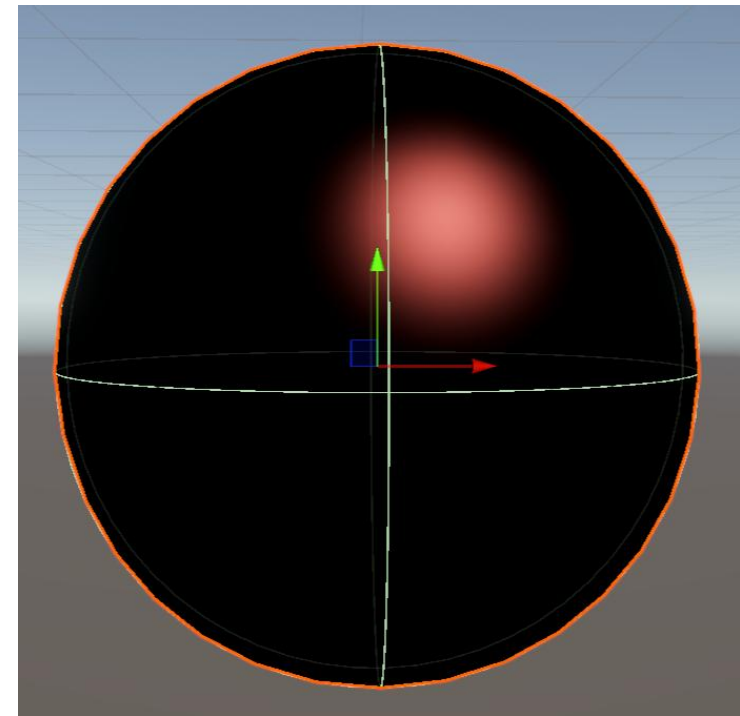
- 今までの計算をまとめたモデル

$$f_r = \frac{FDG}{4(N \cdot L)(N \cdot V)}$$

$$F \sim F_{\text{Schlick}} = F_0 + (1 - F_0)(1 - V \cdot H)^5$$

$$D = \frac{1}{\alpha^2 (H \cdot N)^4} e^{-\left(\frac{\tan(\arccos(H \cdot N))}{\alpha}\right)^2}$$

$$G = \min \left\{ 1, \frac{2(N \cdot H)(V \cdot N)}{V \cdot H}, \frac{2(N \cdot H)(L \cdot N)}{L \cdot H} \right\}$$



Sphere(12)\_CookTorrance

プログラムワークショップIV

# パラメータの追加

- ・表面の粗さ
- ・正面反射率

```
3      ↓      Properties
4      ↓      {
5      [MainColor] _BaseColor ("Base Color", Color) = (0.86, 0.39, 0.39, 1)
6      _Fresnel0 ("Fresnel0", Range(0, 0.99999)) = 0.8
7      _Roughness ("Roughness", Range(0.0001, 1)) = 0.4
8      }
```

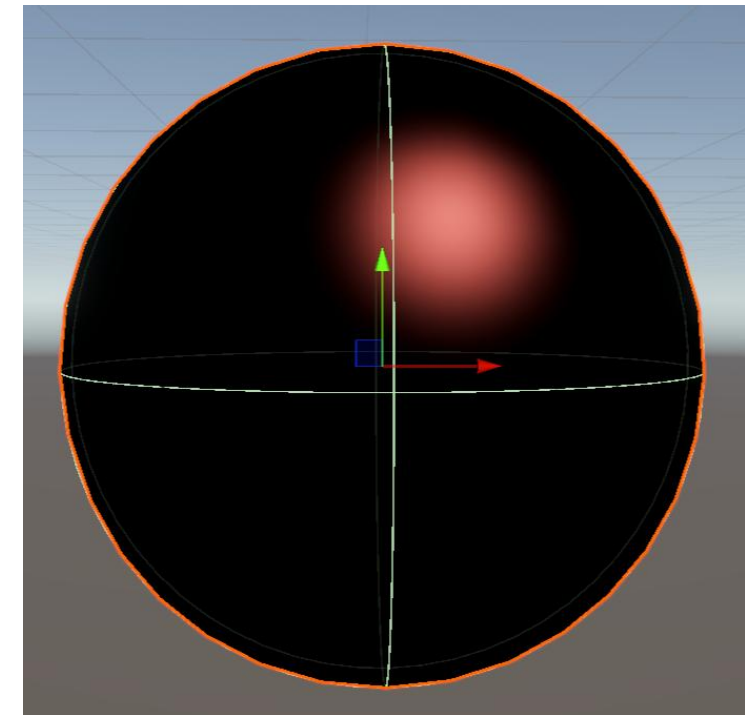
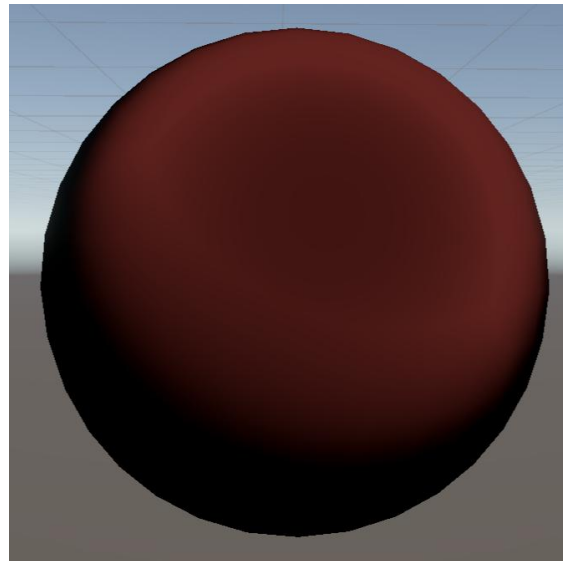
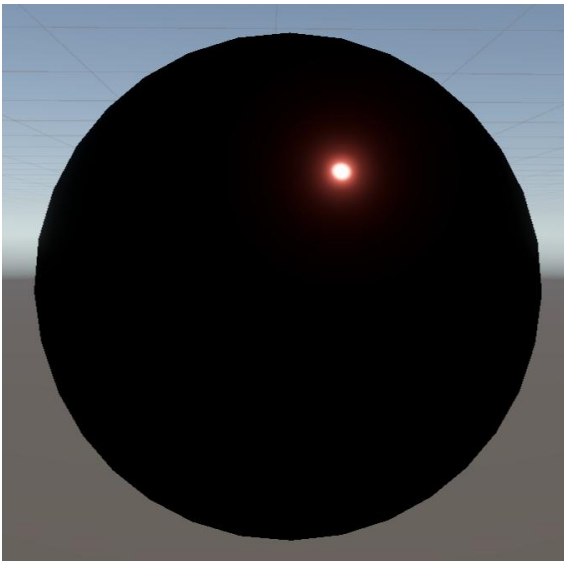
```
37     ↓      CBUFFER_START(UnityPerMaterial)
38     ↓      half4 _BaseColor;
39     ↓      half _Fresnel0;
40     ↓      half _Roughness;
41     ↓      CBUFFER_END
```

# ピクセルシェーダ

```
67 half4 frag(Varyings IN) : SV_Target
68 {
69     Light light = GetMainLight();
70     half3 normal = normalize(IN.normal);
71     half3 view_direction = normalize(TransformViewToWorld(float3(0, 0, 0)) - IN.position);
72     half3 half_vector = normalize(light.direction + view_direction);
73     half VdotN = max(0.00001, dot(view_direction, normal));
74     half LdotN = max(0.00001, dot(light.direction, normal)); 発散しないように0になるのを抑える
75     half HdotN = max(0.00001, dot(half_vector, normal));
76     half LdotH = max(0, dot(half_vector, light.direction));
77     half VdotH = max(0, dot(half_vector, view_direction));
78
79     half alpha2 = _Roughness * _Roughness * _Roughness * _Roughness;
80     float D = exp(-(1 - HdotN * HdotN) / (HdotN * HdotN * alpha2))
81     / (4 * alpha2 * HdotN * HdotN * HdotN * HdotN);
82
83     half G = min(1, 2 * min(HdotN * VdotN / VdotH, HdotN * LdotN / LdotH));
84     half F = _Fresnel0 + (1 - _Fresnel0) * pow(1 - VdotH, 5); // Schlick近似
85     half3 brdf = _BaseColor * D * G * F / (4 * LdotN * VdotN);
86     鏡面反射に色を乗せた
87     half3 color = light.color * LdotN * brdf; Lambertの余弦則
88     return half4(color, 1);
89 }
```

# やってみよう

- 粗さのパラメータや光源方向を変えた時の違いを確認しよう



Sphere(12)\_CookTorrance

プログラムワークショップIV

# アジェンダ

- おさらい
  - 発光
- Phongの反射モデル
  - 環境光
  - ランバート拡散反射モデル
  - 鏡面反射
  - Phongの反射モデル
- 古典反射モデル
  - ブリンフォン
  - メタリック
  - 異方性反射モデル
- 金属反射
  - フレネル
  - 幾何減衰項
  - Beckman分布関数
  - Cook-Torrance金属反射モデル
- 現代的な反射モデル
  - GGX分布
  - Frostbite拡散反射モデル
  - PBR
- 課題

# より良い反射モデル

- ・実際に測定をすると、スペキュラの広がりが大きいことが分かった
- ・多くの改良が提案され、次の項がよく使われる

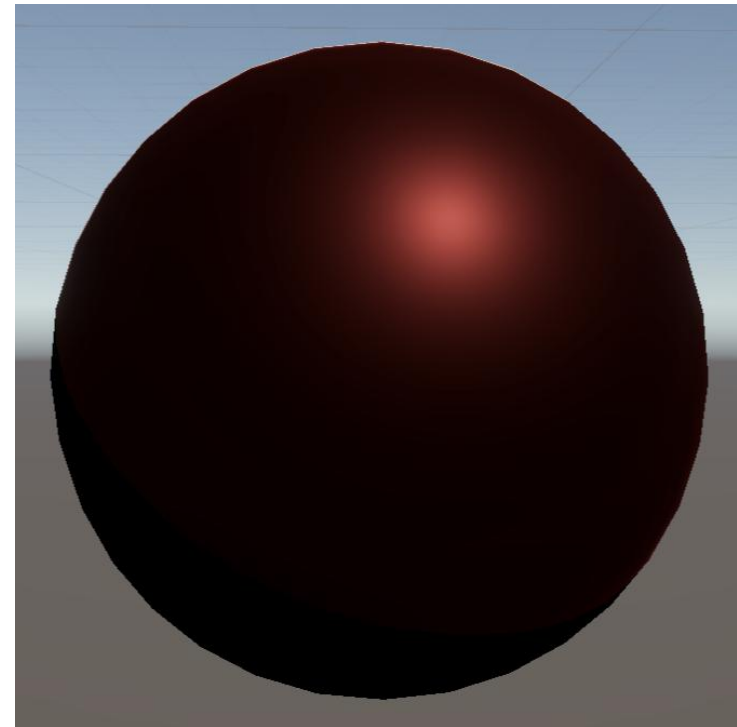
$$f_r = \frac{FDG}{4(N \cdot L)(N \cdot V)}$$

$$D = \frac{\alpha^2}{\pi((H \cdot N)^2(\alpha^2 - 1) + 1)^2}$$

$$G = G_{GGX}(N \cdot L)G_{GGX}(N \cdot V)$$

$$G_{GGX}(c) = \frac{1}{c + \sqrt{\alpha^2 + ac^2 - \alpha^2 c^2}}$$

$$F \sim F_{\text{Schlick}} = F_0 + (1 - F_0)(1 - V \cdot H)^5$$



Sphere(13)\_GGX

プログラムワークショップIV

# パラメータの追加(Cook-Torranceと同じ)

- ・表面の粗さ
- ・正面反射率

```
3      |    Properties
4      v
5      |    {
6      |    [MainColor] _BaseColor ("Base Color", Color) = (0.86, 0.39, 0.39, 1)
7      |    _Fresnel0 ("Fresnel0", Range(0, 1)) = 0.8
8      |    _Roughness ("Roughness", Range(0, 1)) = 0.4
9      }
```

```
37     |    CBUFFER_START(UnityPerMaterial)
38     |    half4 _BaseColor;
39     |    half _Fresnel0;
40     |    half _Roughness;
41     |    CBUFFER_END
```

# ピクセルシェーダ

```
67     half4 frag(Varyings IN) : SV_Target
68     {
69         Light light = GetMainLight();
70         half3 normal = normalize(IN.normal);
71         half3 view_direction = normalize(TransformViewToWorld(float3(0, 0, 0)) - IN.position);
72         half3 half_vector = normalize(light.direction + view_direction);
73         half VdotN = max(0.00001, dot(view_direction, normal));
74         half LdotN = max(0.00001, dot(light.direction, normal));
75         half HdotN = max(0.00001, dot(half_vector, normal));
76         half VdotH = max(0.0, dot(view_direction, half_vector));
77
78         half alpha2 = _Roughness * _Roughness * _Roughness * _Roughness;
79         float denom = HdotN * HdotN * (alpha2 - 1.0) + 1.0;
80         float D = alpha2 / (PI * denom * denom);
81
82         half G = min(1, 1
83             / (VdotN + sqrt(alpha2 + (1.0 - alpha2) * VdotN * VdotN))
84             / (LdotN + sqrt(alpha2 + (1.0 - alpha2) * LdotN * LdotN)));
85
86         half F = _Fresnel0 + (1-_Fresnel0) * pow(1 - VdotH, 5); // Schlick近似
87
88         half3 brdf = saturate(_BaseColor * D * G * F / (4 * LdotN * VdotN));
89
90         half3 color = light.color * LdotN * brdf;
91         return half4(color, 1);
92     }
```

# 組み込み関数

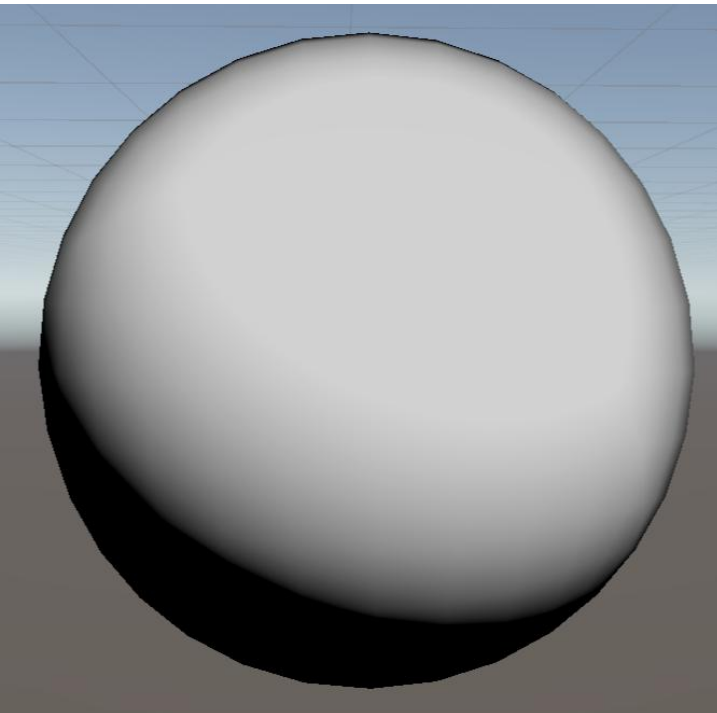
- 法線分布関数には同じ関数が用意されている

```
79 half alpha2 = _Roughness * _Roughness * _Roughness * _Roughness;  
80 float denom = HdotN * HdotN * (alpha2 - 1.0) + 1.0;  
81 float D = alpha2 / (PI * denom * denom);  
  
79 float D = D_GGX(HdotN, _Roughness * _Roughness);
```

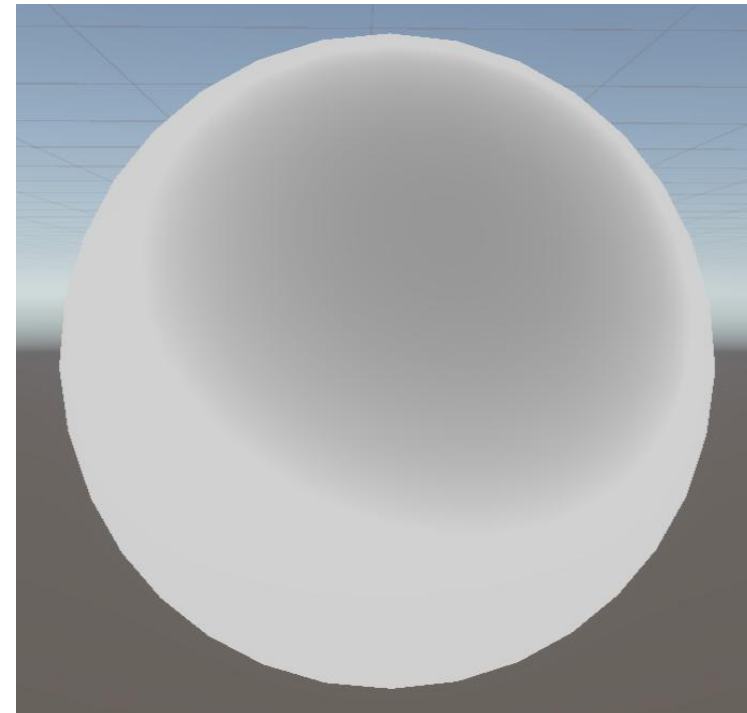


# 幾何減衰項の違い

- GGXでは横から見ても遮蔽されすぎない
  - マイクロファセットの高さが考慮されている



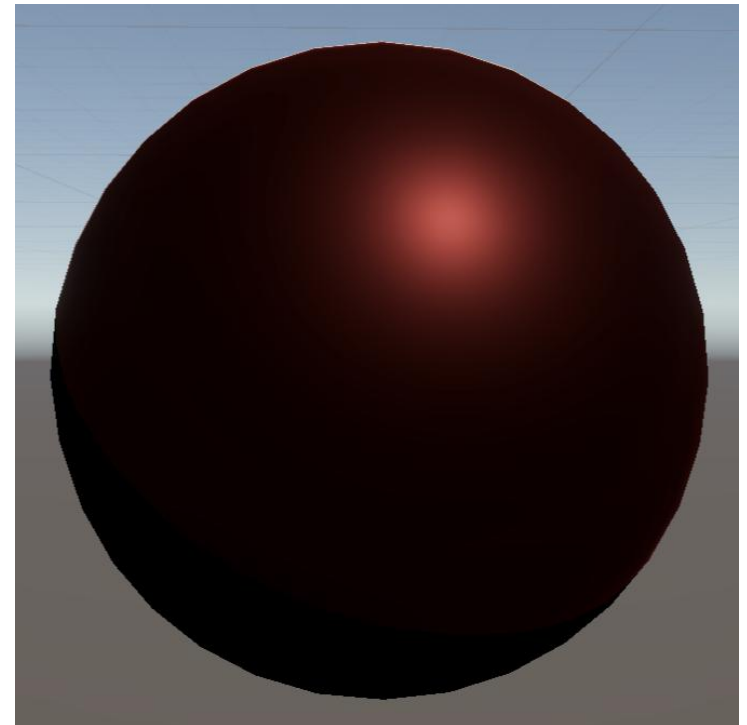
V字溝モデル



GGX

# やってみよう

- 粗さのパラメータや光源方向を変えた時の違いを確認しよう



Sphere(13)\_GGX  
プログラムワークショップIV

# アジェンダ

- おさらい
  - 発光
- Phongの反射モデル
  - 環境光
  - ランバート拡散反射モデル
  - 鏡面反射
  - Phongの反射モデル
- 古典反射モデル
  - ブリンフォン
  - メタリック
  - 異方性反射モデル
- 金属反射
  - フレネル
  - 幾何減衰項
  - Beckman分布関数
  - Cook-Torrance金属反射モデル
- 現代的な反射モデル
  - GGX分布
  - Frostbite拡散反射モデル
  - PBR
- 課題

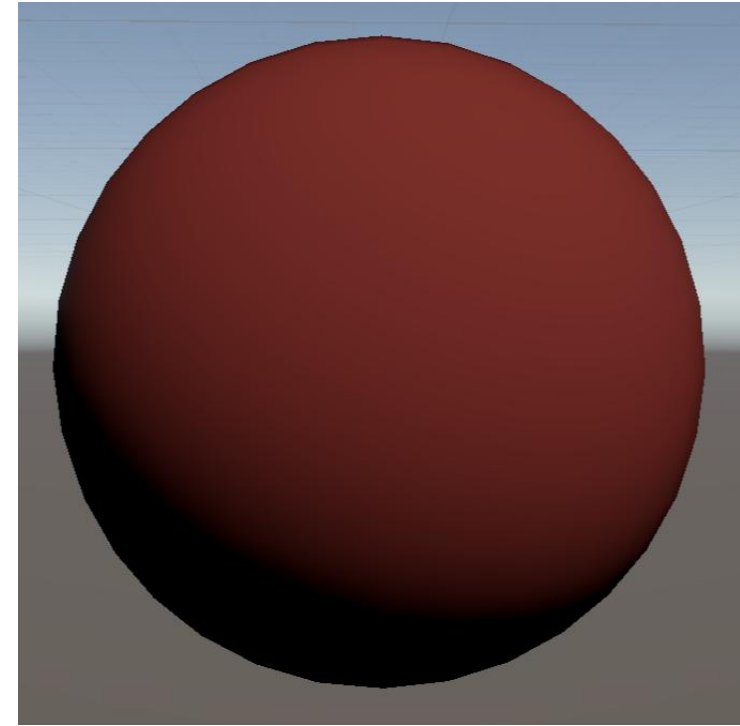
# Frostbite拡散反射モデル

- 鏡面反射光の改善について、拡散反射光も改善されてきた
  - Disneyによるモデルが紹介され、さらにFrostbiteエンジン用に改善された
- 拡散反射項は鏡面反射光で使わなかつた強度であり、また、ヘルムホルツの相反性を満たすように光の入射方向と視線方向に関して、BRDFを対称な形とする

$$\begin{aligned}f_r &= \frac{\sigma}{\pi} (1 - F(N \cdot L))(1 - F(N \cdot V)) \\&= \frac{\sigma}{\pi} (1 - F_0 - (1 - F_0)(N \cdot L)^5)(1 - F_0 - (1 - F_0)(N \cdot V)^5) \\&= \frac{\sigma}{\pi} (1 - F_0)^2 (1 + (-1)(N \cdot L)^5)(1 + (-1)(N \cdot V)^5)\end{aligned}$$

- ここで、正面時の反射率を繰り込んで、その分を水平に見た際の反射率で調整する

$$f_r = \frac{\sigma}{\pi} (1 + (F_{D90} - 1)(N \cdot L)^5)(1 + (F_{D90} - 1)(N \cdot V)^5)$$



Sphere(14)\_FrostbiteDiffuse

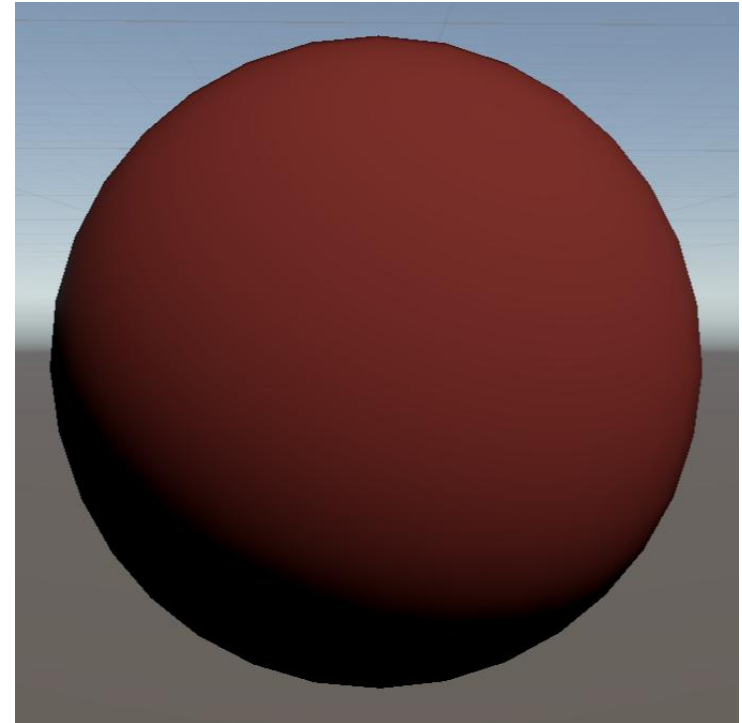
# Frostbite エンジンでの拡散反射の実装

```
71 half Fresnel(half f0, half f90, float co)
72 {
73     return f0 + (f90-f0) * pow(1 - co, 5); // Schlick近似
74 }
75
76 // "Moving Frostbite to Physically Based Rendering 3.0"
77 half3 Fr_DisneyDiffuse(half3 albedo, half LdotN, half VdotN, half LdotH, half linearRoughness)
78 {
79     half energyBias = lerp(0.0, 0.5, linearRoughness);
80     half energyFactor = lerp(1.0, 1.0/1.51, linearRoughness);
81     half Fd90 = energyBias + 2.0 * LdotH * LdotH * linearRoughness;
82     half FL = Fresnel(1, Fd90, LdotN);
83     half FV = Fresnel(1, Fd90, VdotN);
84     return (albedo * FL * FV * energyFactor);
85 }
86
87 half4 frag(Varyings IN) : SV_Target
88 {
89     Light light = GetMainLight();
90     half3 normal = normalize(IN.normal);
91     half3 view_direction = normalize(TransformViewToWorld(float3(0, 0, 0)) - IN.position);
92     half3 half_vector = normalize(light.direction + view_direction);
93     half VdotN = max(0.00001, dot(view_direction, normal));
94     half LdotN = max(0.0, dot(light.direction, normal));
95     half HdotN = max(0.0, dot(half_vector, normal));
96     half LdotH = max(0.0, dot(half_vector, light.direction));
97
98     half3 color = light.color * LdotN
99     * Fr_DisneyDiffuse(_BaseColor, LdotN, VdotN, LdotH, _Roughness * _Roughness) / PI;
100    return half4(color, 1);
101 }
```

公開されている資料から  
そのまま持ってきた

# やってみよう

- 粗さのパラメータや光源方向を変えた時の違いを確認しよう



Sphere(14)\_FrostbiteDiffuse

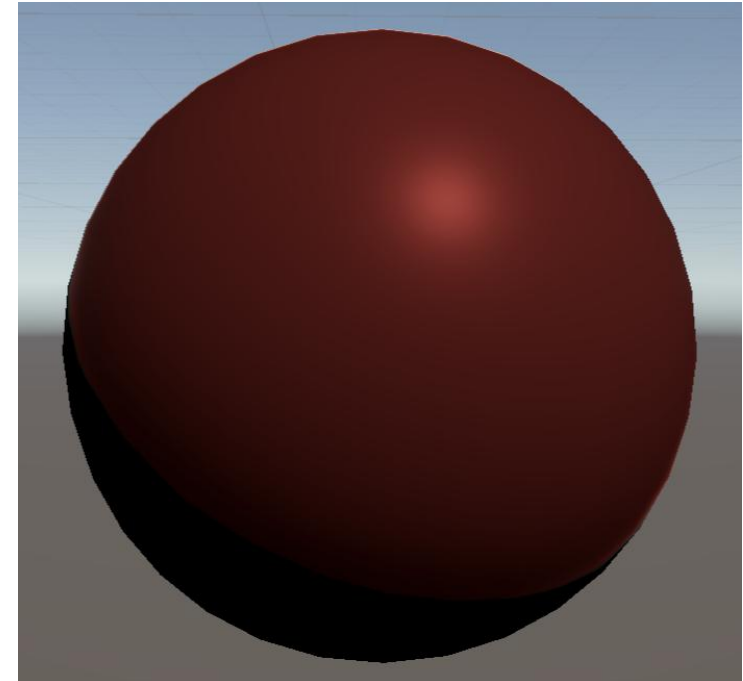
プログラムワークショップIV

# アジェンダ

- おさらい
  - 発光
- Phongの反射モデル
  - 環境光
  - ランバート拡散反射モデル
  - 鏡面反射
  - Phongの反射モデル
- 古典反射モデル
  - ブリンフォン
  - メタリック
  - 異方性反射モデル
- 金属反射
  - フレネル
  - 幾何減衰項
  - Beckman分布関数
  - Cook-Torrance金属反射モデル
- 現代的な反射モデル
  - GGX分布
  - Frostbite拡散反射モデル
  - PBR
- 課題

# PBR

- ・今まで説明してきたような考え方が統合されてゲームエンジンでは使われている



Sphere(15)\_PBR  
プログラムワークショップIV

# パラメータ

- 発光やメタリックを追加

```
3      | Properties
4      | {
5      |     [MainColor] _BaseColor("Base Color", Color) = (0.86, 0.39, 0.39, 1)
6      |     _SpecularColor("Specular Color", Color) = (1, 1, 1, 1)
7      |     _Emission("Emission", Color) = (0, 0, 0, 0)
8      |     _Fresnel0("Fresnel0", Range(0, 1)) = 0.8
9      |     _Roughness("Roughness", Range(0, 1)) = 0.4
10     |     _Metallic("Metallic", Range(0, 1)) = 0.6
11     }
12
13
14
15
16
17
18
19
20
21
22
23
24
25
26
27
28
29
30
31
32
33
34
35
36
37
38
39
40      | CBUFFER_START(UnityPerMaterial)
41      |     half4 _BaseColor;
42      |     half4 _SpecularColor;
43      |     half4 _Emission;
44      |     half _Fresnel0;
45      |     half _Roughness;
46      |     half _Metallic;
47      | CBUFFER_END
```

# 拡散反射

- ・前出のまま
- ・他のフレネルの手法も用意
  - ・近似なしは関数を拡張

```
58 half FresnelReflectanceAverageDielectric(float co, float f0, float f90)
59 {
60     co = min(0.9999, max(0.000001, co));
61
62     float root_f0 = sqrt(f0);
63     float root_f90 = sqrt(f90);
64     float n = (root_f90 + root_f0) / (root_f90 - root_f0);
65     float n2 = n * n;
66
67     float si2 = 1 - co * co;
68     float nb = sqrt(n2 - si2);
69     float bn = nb / n2;
70
71     float r_s = (co - nb) / (co + nb);
72     float r_p = (co - bn) / (co + bn);
73     return 0.5 * f90 * (r_s * r_s + r_p * r_p);
74 }
75
76 half Fresnel(half f0, half f90, float co)
77 {
78     // return FresnelReflectanceAverageDielectric(co, f0, f90); // S波P波平均の無近似
79     return f0 + (f90-f0) * pow(1 - co, 5); // Schlick近似
80     // return f0 + (f90-f0) * exp(-6 * co); // FarCry3近似
81 }
82
83 // "Moving Frostbite to Physically Based Rendering 3.0"
84 half3 Fr_DisneyDiffuse(half3 albedo, half LdotN, half VdotN, half LdotH, half linearRoughness)
85 {
86     half energyBias = lerp(0.0, 0.5, linearRoughness);
87     half energyFactor = lerp(1.0, 1.0/1.51, linearRoughness);
88     half Fd90 = energyBias + 2.0 * LdotH * LdotH * linearRoughness;
89     half FL = Fresnel(1, Fd90, LdotN);
90     half FV = Fresnel(1, Fd90, VdotN);
91     return (albedo * FL * FV * energyFactor);
92 }
```

# 変更点

- Metallic、Emissionを反映
- 幾何減衰項をFrostbiteのものに置き換え
  - マイクロファセットの位置が高いほど、入射・出射方向に對して見える可能性が高くなることを考慮

```
94
95
96
97
98
99
100
101
102
103
104
105
106
107
108
109
110
111
112
113
114
115
116
117
118
119
120
121
122
123
124
125
126
127
128
129
130
131
132
133
134
135
136
```

```
// "Moving Frostbite to Physically Based Rendering 3.0"
float V_SmithGGXCorrelated(float NdotL, float NdotV, float alphaG2)
{
    // Original formulation of G_SmithGGX Correlated
    // lambda_v = (-1 + sqrt(alphaG2 * (1-NdotL) / NdotL + 1)) * 0.5f;
    // lambda_l = (-1 + sqrt(alphaG2 * (1-NdotV) / NdotV + 1)) * 0.5f;
    // G_SmithGGXCorrelated = 1 / (1 + lambda_v + lambda_l);
    // V_SmithGGXCorrelated = G_SmithGGXCorrelated / (4.0f * NdotL * NdotV);

    // Caution: the "NdotL *" and "NdotV *" are explicitly inverted, this is not a mistake.
    float Lambda_GGXV = NdotL * sqrt((-NdotV * alphaG2 + NdotV) * NdotV + alphaG2);
    float Lambda_GGXL = NdotV * sqrt((-NdotL * alphaG2 + NdotL) * NdotL + alphaG2);
    return 0.5f / (Lambda_GGXV + Lambda_GGXL);
}
```

```
half4 frag(Varyings IN) : SV_Target
{
    Light light = GetMainLight();
    half3 normal = normalize(IN.normal);
    half3 view_direction = normalize(TransformViewToWorld(float3(0, 0, 0)) - IN.position);
    half3 view_direction = TransformViewToWorldNormal(float3(0, 0, 1)); // 頂点の位置を見ない近似
    half3 half_vector = normalize(light.direction + view_direction);
    half VdotN = max(0.00001, dot(view_direction, normal));
    half LdotN = max(0.0, dot(light.direction, normal));
    half HdotN = max(0.0, dot(half_vector, normal));
    half LdotH = max(0.0, dot(half_vector, light.direction));
    half VdotH = max(0.0, dot(half_vector, view_direction));

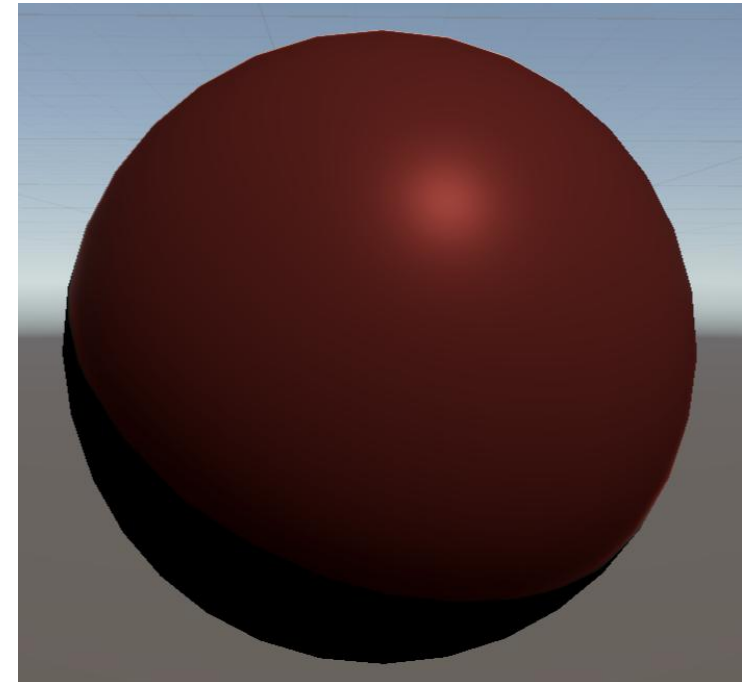
    half alpha = _Roughness * _Roughness;
    half3 diffuse = Fr_DisneyDiffuse(_BaseColor, LdotN, VdotN, LdotH, alpha) / PI;

    half alpha2 = alpha * alpha;
    float D = alpha2 / (PI * pow(HdotN * HdotN * (alpha2 - 1.0) + 1.0, 2.0));
    half G = min(1, 1
        / (VdotN + sqrt(alpha2 + (1.0 - alpha2) * VdotN * VdotN))
        / (LdotN + sqrt(alpha2 + (1.0 - alpha2) * LdotN * LdotN)));
    half G = V_SmithGGXCorrelated(LdotN, VdotN, alpha2);
    half F = Fresnel(_Fresnel0, 1, VdotH);
    half3 specular = saturate(_SpecularColor * D * G * F / (4 * LdotN * VdotN));

    half3 color = light.color * LdotN * lerp(diffuse, specular, _Metallic);
    color += _Emission; // 発光
    return half4(color, 1);
}
```

# やってみよう

- ・パラメータや光源方向を変えた時の違いを確認しよう



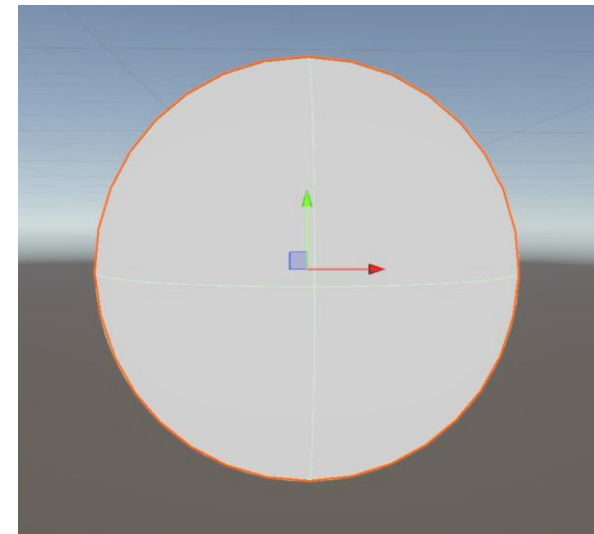
Sphere(15)\_PBR  
プログラムワークショップIV

# アジェンダ

- おさらい
  - 発光
- Phongの反射モデル
  - 環境光
  - ランバート拡散反射モデル
  - 鏡面反射
  - Phongの反射モデル
- 古典反射モデル
  - ブリンフォン
  - メタリック
  - 異方性反射モデル
- 金属反射
  - フレネル
  - 幾何減衰項
  - Beckman分布関数
  - Cook-Torrance金属反射モデル
- 現代的な反射モデル
  - GGX分布
  - Frostbite拡散反射モデル
  - PBR
- 課題

# 課題

- ・今回の授業内容を発展させて  
「Shader\_16\_MyShader」を書き  
替えて素敵なシェーダを書こう
  - PBRの異方性対応
  - テクスチャ対応
  - 他の反射モデル
  - 分散(周波数)  
への対応
    - トゥーンは今後  
の授業でやる  
予定なので×



```
1 Shader "Custom/Shader_16_MyShader"
2 {
3     Properties
4     {
5         [MainColor] _BaseColor("Base Color", Color) = (1, 1, 1, 1)
6         [MainTexture] _BaseMap("Base Map", 2D) = "white"
7     }
8
9     SubShader
10    {
11        Tags { "RenderType" = "Opaque" "RenderPipeline" = "UniversalPipeline" }
12
13        Pass
14        {
15            HLSLPROGRAM
16
17            #pragma vertex vert
18            #pragma fragment frag
19
20            #include "Packages/com.unity.render-pipelines.universal/ShaderLibrary/Core.hlsl"
21
22            struct Attributes
23            {
24                float4 positionOS : POSITION;
25                float2 uv : TEXCOORD0;
26            };
27
28            struct Varyings
29            {
30                float4 positionHCS : SV_POSITION;
31                float2 uv : TEXCOORD0;
32            };
33
34            TEXTURE2D(_BaseMap);
35            SAMPLER(sampler_BaseMap);
36
37            CBUFFER_START(UnityPerMaterial)
38                half4 _BaseColor;
39                float4 _BaseMap_ST;
40            CBUFFER_END
41
42            Varyings vert(Attributes IN)
43            {
44                Varyings OUT;
45                OUT.positionHCS = TransformObjectToHClip(IN.positionOS.xyz);
46                OUT.uv = TRANSFORM_TEX(IN.uv, _BaseMap);
47                return OUT;
48            }
49
50            half4 frag(Varyings IN) : SV_Target
51            {
52                half4 color = SAMPLE_TEXTURE2D(_BaseMap, sampler_BaseMap, IN.uv) * _BaseColor;
53                return color;
54            }
55        ENDHLSL
56    }
57
58 }
```

# まとめ

- CG基礎
  - 発光
- 古典的な反射モデル
  - Phongの反射モデル
    - 環境光
    - ランバート拡散反射モデル
    - 鏡面反射
    - Phongの反射モデル
  - 古典反射モデル
    - ブリンフォン
    - メタリック
    - 異方性反射モデル
- 金属反射
  - フレネル
  - 幾何減衰項
  - Beckman分布関数
  - Cook-Torrance金属反射モデル
- 現代的な反射モデル
  - GGX分布
  - Frostbite拡散反射モデル
  - PBR

# 最後に

- ・もっと知りたいと思った事を教えてください

今日の内容が何の役に立つんですかという質問がありがちですが

- ・あなたは足し算が何の役に立つか聞くんですか？
- ・プログラマによくくる要求は、「あのゲームでやっていることを再現してほしい」です

学籍番号 \_\_\_\_\_ 名前 \_\_\_\_\_

1. \_\_\_\_\_

2. \_\_\_\_\_

3. \_\_\_\_\_

4. \_\_\_\_\_

• もっと知りたいと思ったことを書いてください \_\_\_\_\_